

FORMULARZ ZGŁOSZENIA INSTALACJI WYTWARZAJĄCYCH POLA ELEKTROMAGNETYCZNE

I. Wypełnia podmiot prowadzący instalację dokonujący jej zgłoszenia

1. Nazwa i adres organu ochrony środowiska właściwego do przyjęcia zgłoszenia

Starostwo Powiatowe w Gryfinie; 74-100 Gryfino ul. 11 Listopada 16D

2. Nazwa instalacji zgodna z nazewnictwem stosowanym przez prowadzącego instalację

RTCN Szczecin/Kołowo

3. Określenie nazw jednostek terytorialnych (gmin, powiatów i województw), na których terenie znajduje się instalacja, wraz z podaniem symboli KTS jednostek terytorialnych, na których terenie znajduje się instalacja

gmina : Stare Czarnowo KTS 10023216606072
powiat: Gryfinski KTS : 10023216606000
województwo: Zachodniopomorskie KTS: 10023200000000

4. Oznaczenie prowadzącego instalację, jego adres zamieszkania lub siedziby

Emitel S.A.
ul. F. Klimczaka 1
02-797 Warszawa

5. Adres zakładu, na którego terenie prowadzona jest eksploatacja instalacji

74-106 Stare Czarnowo, dz. Nr 10, wieś Kołowo

6. Rodzaj instalacji, zgodnie z załącznikiem nr 2 do rozporządzenia Ministra Środowiska z dnia 2 lipca 2010 r. w sprawie zgłoszenia instalacji wytwarzających pola elektromagnetyczne (Dz. U. Nr 130, poz. 879)

Instalacja radiokomunikacyjna, radionawigacyjna i radiolokacyjna, których równoważna moc promieniowana izotropowo wynosi nie mniej niż 15 W, emitujących pola elektromagnetyczne o częstotliwościach od 30 kHz do 300GHz, z wyłączeniem instalacji używanych w służbie radiokomunikacyjnej amatorskiej.

7. Rodzaj i zakres prowadzonej działalności, w tym wielkość produkcji lub wielkość świadczonych usług

Świadczenie usług w zakresie telekomunikacji oraz emisji programów telewizyjnych i radiowych na terenie całego kraju

8. Czas funkcjonowania instalacji (dni tygodnia i godziny)

Wszystkie dni tygodnia przez całą dobę

9. Wielkość i rodzaj emisji

wyszczególnione w punkcie 12

10. Opis stosowanych metod ograniczania emisji

Wielkość emisji promieniowania elektromagnetycznego ograniczana jest poprzez zastosowanie najnowocześniejszych technologii używanych dziś na świecie. Są to:

- najwyższej klasy anteny charakteryzujące się wysoką kierunkowością
- cyfryzacja sygnału co pozwala na istotne obniżenie mocy nadawczych
- stosowanie algorytmów przesyłu pozwalających na maksymalne wykorzystanie pasma częstotliwości

11. Informacja, czy stopień ograniczania wielkości emisji jest zgodny z obowiązującymi przepisami

Zastosowane ograniczenia wielkości emisji zapewniają, że w miejscach dostępnych dla ludności poziom natężenia pola elektromagnetycznego nie przekroczy dopuszczalnych prawem wielkości.

12. Szczegółowe dane, odpowiednio do rodzaju instalacji, zgodne z wymaganiami określonymi w załączniku nr 2 do rozporządzenia:

Lp	wyszczególnienie
1	współrzędne geograficzne lub współrzędne prostokątne płaskie anten instalacji, z dokładnością odpowiednio do jednej dziesiątej sekundy lub w zaokrągleniu do 1 m (współrzędne mogą być określone z użyciem technik GPS lub innych dostępnych technik, z zachowaniem wymaganej dokładności) w obowiązującym układzie odniesień przestrzennych; 53N 20°01,6" 14E 40° 29,6"

Tabela 1. Parametry techniczne układu antenowego: 8x1 TA 3-21/50 (MUX R3)

L.p.	Pojedyncza antena	Użytkownik	Pasmo	Główne kierunki promieniowania	Wysokość zawieszona	Pochylenie wiązki głównej	EIRP pojedynczej anteny
			MHz	deg	mnpt	deg	W
1	TA 3-21/50	Emitel	88-108	90	235	0,5	1875

Tabela 2. Parametry techniczne układu antenowego 16x4 PHP-4S (DVB-T MUX1, MUX2, MUX3, MUX4, DVBT-2 MUX TVP test)

L.p.	Pojedyncza antena	Użytkownik	Pasmo	Główne kierunki promieniowania	Wysokość zawieszona	Pochylenie wiązki głównej	EIRP pojedynczej anteny
			MHz	deg	mnpt	deg	W
1	PHP-4S	Emitel	174-862	0	268,5	0	12812
2	PHP-4S				267,1	0	12812
3	PHP-4S				265,7	0	12812
4	PHP-4S				264,3	0	12812
5	PHP-4S				262,9	0	12812
6	PHP-4S				261,5	0	12812
7	PHP-4S				260,1	0	12812
8	PHP-4S				258,7	0	12812
9	PHP-4S				257,3	0	12812
10	PHP-4S				255,9	0	12812
11	PHP-4S				254,5	0	12812
12	PHP-4S				253,1	0	12812
13	PHP-4S				251,7	0	12812
14	PHP-4S				250,3	0	12812
15	PHP-4S				248,9	0	12812
16	PHP-4S				247,5	0	12812
17	PHP-4S				268,5	0	12812
18	PHP-4S				267,1	0	12812
19	PHP-4S				265,7	0	12812
20	PHP-4S				264,3	0	12812
21	PHP-4S				262,9	0	12812
22	PHP-4S				261,5	0	12812

23	PHP-4S	Emitel	174-862	90	260,1	0	12812
24	PHP-4S				258,7	0	12812
25	PHP-4S				257,3	0	12812
26	PHP-4S				255,9	0	12812
27	PHP-4S				254,5	0	12812
28	PHP-4S				253,1	0	12812
29	PHP-4S				251,7	0	12812
30	PHP-4S				250,3	0	12812
31	PHP-4S				248,9	0	12812
32	PHP-4S	247,5	0	12812			
33	PHP-4S	Emitel	174-862	180	268,5	0	12812
34	PHP-4S				267,1	0	12812
35	PHP-4S				265,7	0	12812
36	PHP-4S				264,3	0	12812
37	PHP-4S				262,9	0	12812
38	PHP-4S				261,5	0	12812
39	PHP-4S				260,1	0	12812
40	PHP-4S				258,7	0	12812
41	PHP-4S				257,3	0	12812
42	PHP-4S	Emitel	174-862	270	255,9	0	12812
43	PHP-4S				254,5	0	12812
44	PHP-4S				253,1	0	12812
45	PHP-4S				251,7	0	12812
46	PHP-4S				250,3	0	12812
47	PHP-4S				248,9	0	12812
48	PHP-4S				247,5	0	12812
49	PHP-4S				268,5	0	12812
50	PHP-4S				267,1	0	12812
51	PHP-4S	Emitel	174-862	270	265,7	0	12812
52	PHP-4S				264,3	0	12812
53	PHP-4S				262,9	0	12812
54	PHP-4S				261,5	0	12812
55	PHP-4S				260,1	0	12812
56	PHP-4S				258,7	0	12812
57	PHP-4S				257,3	0	12812
58	PHP-4S				255,9	0	12812
59	PHP-4S				254,5	0	12812
60	PHP-4S	Emitel	174-862	270	253,1	0	12812
61	PHP-4S				251,7	0	12812
62	PHP-4S				250,3	0	12812
63	PHP-4S				248,9	0	12812
64	PHP-4S				247,5	0	12812

Tabela 3. Parametry techniczne układu antenowego 6x3 K 52 31 188 (RMF FM, 3 PR, 1 PR, R.ZET, Radio PLUS Szczecin)

L.p.	Pojedyncza antena	Użytkownik	Pasmo	Główne kierunki promieniowania	Wysokość zawieszania	Pochylenie wiązki głównej	EIRP pojedynczej anteny
			MHz	deg	mnpt	deg	W
1	K 52 31 188	Emitel	88-108	70	155,75	0,5	1336,05
2	K 52 31 188		88-108		154,65	0,5	1336,05
3	K 52 31 188		88-108		153,55	0,5	1336,05
4	K 52 31 188		88-108		152,45	0,5	1336,05
5	K 52 31 188		88-108		1541,35	0,5	1336,05
6	K 52 31 188		88-108		150,25	0,5	1336,05
7	K 52 31 188	Emitel	88-108	170	155,75	0,5	1336,05
8	K 52 31 188		88-108		154,65	0,5	1336,05
9	K 52 31 188		88-108		153,55	0,5	1336,05
10	K 52 31 188		88-108		152,45	0,5	1336,05
11	K 52 31 188		88-108		1541,35	0,5	1336,05
12	K 52 31 188		88-108		150,25	0,5	1336,05
13	K 52 31 188	Emitel	88-108	350	155,75	0,5	1336,05
14	K 52 31 188		88-108		154,65	0,5	1336,05
15	K 52 31 188		88-108		153,55	0,5	1336,05
16	K 52 31 188		88-108		152,45	0,5	1336,05
17	K 52 31 188		88-108		1541,35	0,5	1336,05
18	K 52 31 188		88-108		150,25	0,5	1336,05

Tabela 4. Parametry techniczne układu antenowego ADB 4611 6x3 (Radio Szczecin)

L.p.	Pojedyncza antena	Użytkownik	Pasmo	Główne kierunki promieniowania	Wysokość zawieszania	Pochylenie wiązki głównej	EIRP pojedynczej anteny
			MHz	deg	mnpt	deg	W
1	ADB 4611	Emitel	88-108	16/136/246	177	0	333,36

Tabela 5. Parametry techniczne układu antenowego 10x5 K 52 30 57 (MUX 8)

L.p.	Pojedyncza antena	Użytkownik	Pasmo	Główne kierunki	Wysokość	Pochylenie wiązki	EIRP pojedynczej anteny
			MHz	deg	mnpt	deg	W

1	K52 30 57	Emitel	170-230	53	226,75	0	400
2	K52 30 57		170-230		225,25	0	400
3	K52 30 57		170-230		223,75	0	400
4	K52 30 57		170-230		222,25	0	400
5	K52 30 57		170-230		220,75	0	400
6	K52 30 57		170-230		219,25	0	400
7	K52 30 57		170-230		217,75	0	400
8	K52 30 57		170-230		216,25	0	400
9	K52 30 57		170-230		214,75	0	400
10	K52 30 57		170-230		213,25	0	400
11	K52 30 57		Emitel		170-230	126	226,75
12	K52 30 57	170-230		225,25	0		400
13	K52 30 57	170-230		223,75	0		400
14	K52 30 57	170-230		222,25	0		400
15	K52 30 57	170-230		220,75	0		400
16	K52 30 57	170-230		219,25	0		400
17	K52 30 57	170-230		217,75	0		400
18	K52 30 57	170-230		216,25	0		400
19	K52 30 57	170-230		214,75	0		400
20	K52 30 57	170-230		213,25	0		400
21	K52 30 57	Emitel	170-230	191	226,75	0	400
22	K52 30 57		170-230		225,25	0	400
23	K52 30 57		170-230		223,75	0	400
24	K52 30 57		170-230		222,25	0	400
25	K52 30 57		170-230		220,75	0	400
26	K52 30 57		170-230		219,25	0	400
27	K52 30 57		170-230		217,75	0	400
28	K52 30 57		170-230		216,25	0	400
29	K52 30 57		170-230		214,75	0	400
30	K52 30 57		170-230		213,25	0	400
31	K52 30 57	Emitel	170-230	268	226,75	0	400
32	K52 30 57		170-230		225,25	0	400
33	K52 30 57		170-230		223,75	0	400
34	K52 30 57		170-230		222,25	0	400
35	K52 30 57		170-230		220,75	0	400
36	K52 30 57		170-230		219,25	0	400
37	K52 30 57		170-230		217,75	0	400
38	K52 30 57		170-230		216,25	0	400
39	K52 30 57		170-230		214,75	0	400
40	K52 30 57		170-230		213,25	0	400
41	K52 30 57	Emitel	170-230	340	226,75	0	400
42	K52 30 57		170-230		225,25	0	400
43	K52 30 57		170-230		223,75	0	400
44	K52 30 57		170-230		222,25	0	400
45	K52 30 57		170-230		220,75	0	400
46	K52 30 57		170-230		219,25	0	400
47	K52 30 57		170-230		217,75	0	400
48	K52 30 57		170-230		216,25	0	400
49	K52 30 57		170-230		214,75	0	400
50	K52 30 57		170-230		213,25	0	400

Tabela 6. Parametry techniczne radiolinii

L.p.	Pojedyncza antena	Użytkownik	Pasmo	Główne kierunki promieniowania	Wysokość zawieszenia	Pochylenie wiązki głównej	EIRP pojedynczej anteny
			MHz	deg	mnpt	deg	W
1	VHLP2-13S-NC3	Emitel	13000	85,2	102	0,5	630
2	UKY 220 69/SC15	Emitel	23000	19,6	75	0,5	630
3	HPX8-65	Emitel	6000	162,3	100	0,5	5495
4	VHLP1-38-NC3	Emitel	38000	340,4	120	-2,24	912
5	VHLP4-130-NC3	Emitel	13000	182,1	135	-0,56	2512
6	UKY 220 69/SC15	Emitel	23000	20,9	75	0,5	263,03
7	VHLP2-18-NC3	Emitel	18000	304,4	121	0,5	524,81
8	UKY 220 69/SC15	Emitel	13000	20,3	75	0,5	1778,28
9	UKY 220 45/SC15	Emitel	23000	302,9	120	0,5	891,25
10	VHLP2-13S-NC3	Emitel	13000	145,4	120	0,5	660,69
11	VHLP2-38-NC3	Emitel	38 000	56,2	62	0,5	800
12	SBX2-127	Emitel	13 000	196,7	60	0,5	371,54
13	VHLP1-13-NC3	Emitel	13 000	347,8	83	0,5	214
14	VHLP2-23-NC3	Emitel	23 000	15,5	70	0,5	724
15	VHLP2-18-NC3	Emitel	18 000	318,4	67	0,5	1175
16	VHLP4-23-NC3	Emitel	23 000	52,4	135	0,5	1738
17	VHLP1-23-NC3	Emitel	23 000	308,9	135	0,5	490
18	VHLP2-13-NC3	Emitel	13 000	105,6	70	0,5	602,56
19	VHLP1-13-NC3	Emitel	13 000	144,7	50	0,5	245
20	VHLP4-23-NC3	Emitel	23 000	267,2	70	0,5	2818,38
21	VHLP4-23-NC3	Emitel	23 000	267,2	70	0,5	2818,38
22	VHLP2-23-NC3	Emitel	23 000	308,9	132	0,5	1479,11

	23	VHLP2-18	Emitel	19 022,5	321,7	80	0,5	870,96	
3	<p>kwalfikację instalacji jako przedsięwzięcia mogącego znacząco oddziaływać na środowisko, o którym mowa w przepisach wydanych na podstawie art. 60 ustawy z dnia 3 października 2008 r. o udostępnianiu informacji o środowisku i jego ochronie, udziale społeczeństwa w ochronie środowiska oraz o ocenach oddziaływania na środowisko - przez podanie informacji, czy miejsca dostępne dla ludności znajdują się w określonej w rozporządzeniu odległości od środków elektrycznych poszczególnych anten, w osi ich głównych wiązek promieniowania;</p> <p>radiodyfuzja (tab. 1-5) - instalacja nie jest kwalifikowana jako przedsięwzięcie mogące zawsze lub mogące potencjalnie znacząco oddziaływać na środowisko radiolinie (tab.6) - nie dotyczy</p> <p>Osie główne anteny telewizyjnej skierowane są w kierunku widnokręgu (równoległe do powierzchni terenu). Osie główne maksymalnych azymutów promieniowania w żadnym punkcie nie przecinają miejsc dostępnych dla ludności (do odległości 300m).</p>								
4	<p>wyniki pomiarów poziomów pól elektromagnetycznych, o których mowa w art. 122a ustawy z dnia 27 kwietnia 2001 r. - Prawo ochrony środowiska, jeśli takie były wymagane.</p> <p style="text-align: center;">Sprawozdanie z obliczeń w załączeniu</p>								
13. Miejscowość, data (rok - miesiąc - dzień):				Kraków, 2021-09-07					
Imię i nazwisko osoby reprezentującej prowadzącego instalację:				Ryszard Chlebda					
Podpis									
II. Wypełnia organ ochrony środowiska przyjmujący zgłoszenie									
Data zarejestrowania zgłoszenia.....					Numer zgłoszenia.....				

SPRAWOZDANIE NR 12378/S/2021

Z POMIARÓW

NATEŻENIA POŁA ELEKTROMAGNETYCZNEGO WYKONANYCH DLA CELÓW

OCHRONY ŚRODOWISKA

NAZWA OBIEKTU:	RTCN Szczecin / Kołowo
ZLECENIODAWCA:	Emitel S.A.
RODZAJ INSTALACJI:	Nadawcze systemy tele- i radiokomunikacyjne
DATA ZAKOŃCZENIA POMIARÓW: <small>(Wg Prawa Ochrony Środowiska, Art 3, p. 21)</small>	25 sierpnia 2021 r.

<i>Sprawdził / Autoryzował</i>	Krzysztof Kucab
	Elektronicznie podpisany przez Krzysztof Kucab Data: 2021.09.02 10:00:33 +02'00' <i>Krosno, 2 września 2021 r.</i>

Sprawozdanie zawiera:

stron: 33, tabel: 3, rysunków: 1, fotografii: 1.

Spis treści:

1. Zleceniodawca.....	3
2. Obiekt.....	3
3. Opis pomiarów.....	12
4. Zestaw aparatury pomiarowej.....	13
5. Wyniki pomiarów.....	13
6. Dopuszczalne poziomy pól elektromagnetycznych w środowisku.....	33
7. Wartości wskaźnikowe poziomu emisji pól elektromagnetycznych.....	33
8. Ocena oddziaływania pola na środowisko. Wnioski.....	33
9. Oświadczenia.....	33

Spis tabel:

Tabela 1. Dane techniczne źródeł promieniowania elektromagnetycznego – urządzenia Emitel.....	4
Tabela 2. Dane techniczne źródeł promieniowania elektromagnetycznego – urządzenia innych operatorów.....	11
Tabela 3. Wyniki pomiarów natężenia pola elektromagnetycznego w otoczeniu obiektu RTCN Szczecin / Kołowo, w warunkach normalnej eksploatacji urządzeń.....	14

Spis fotografii i rysunków:

Fot. 1. RTCN Szczecin / Kołowo – widok masztów.....	3
Rys. 1. Rozmieszczenie pionów pomiarowych w otoczeniu obiektu RTCN Szczecin / Kołowo.....	32



Fot. 1. RTCN Szczecin / Kołowo – widok masztów

1. Zleceniodawca

Zleceniodawca pomiarów:	Emitel S.A., ul. F. Klimczaka 1, 02-797 Warszawa
Zlecenie:	Zamówienie nr 29563 z dnia 29 lipca 2021 roku
Osoba udzielająca informacji do sprawozdania:	przedstawiciel Zleceniodawcy – Koordynator ds. pomiarów pól elektromagnetycznych

2. Obiekt

Właściciel instalacji:	Emitel S.A.
Nazwa:	RTCN Szczecin / Kołowo
Adres:	74-106 Stare Czarnowo, wieś Kołowo
Powiat / Gmina	gryfiński / gmina Stare Czarnowo
Województwo:	zachodniopomorskie
Położenie:	w pobliżu wsi Kołowo, w otoczeniu terenów leśnych i rolnych
Informacje dodatkowe:	obiekt ogrodzony, urządzenia nadawcze niedostępne dla osób postronnych
Współrzędne geograficzne:	N: 53° 20' 01,6" E: 14° 40' 29,6"
Wysokość posadowienia masztów:	140 m n.p.m.
Charakterystyka źródeł pól:	otrzymane od Zleceniodawcy dane techniczne urządzeń oraz warunki ich normalnej eksploatacji zamieszczono w tabelach nr 1 i 2

Tabela 1. Dane techniczne źródeł promieniowania elektromagnetycznego – urzędzenia Emitel

Nr źródła	1	2	3	4	5
Użytkownik	Emitel S.A.	Emitel S.A.	Emitel S.A.	Emitel S.A.	Emitel S.A.
Nazwa i typ urządzenia	LR	LR	LR	LR	LR
Numer fabryczny	19CZ030031942	100415151-F001	07ACZ10765229	05ACZ10606375	13CZ032180283
Producent	Brak danych	Brak danych	NEC	NEC	Brak danych
Rok produkcji	Brak danych	Brak danych	Brak danych	Brak danych	Brak danych
Rok uruchomienia	2019	2020	2018	2018	2019
Dziedzina zastosowań	Radiokomunikacja	Radiokomunikacja	Radiokomunikacja	Radiokomunikacja	Radiokomunikacja
Częstotliwość znamionowa	Pasmo 13 GHz	Pasmo 13 GHz	Pasmo 38 GHz	Pasmo 18 GHz	Pasmo 13 GHz
Rodzaj modulacji	Brak danych	128QAM	Brak danych	Brak danych	Brak danych
Moc wyjściowa znamionowa	Brak danych	Brak danych	Brak danych	Brak danych	Brak danych
Moc wyjściowa rzeczywista	Brak danych	20,4 dBm	14,5 dBm	Brak danych	Brak danych
Efektywny czas pracy źródła [h/dobę]	24	24	24	24	24
Rodzaj toru przesyłowego	Urządzenia nadawcze zainstalowane przy antenie	Urządzenia nadawcze zainstalowane przy antenie	Urządzenia nadawcze zainstalowane przy antenie	Urządzenia nadawcze zainstalowane przy antenie	Urządzenia nadawcze zainstalowane przy antenie
Długość toru	VHLP1-13-NC3	SBX2-127	VHLP2-38-NC3	VHLP2-18-NC3	VHLP2-13-NC3
Straty w torze	Ø 0,3 m	Ø 0,6 m	Ø 0,6m	Ø 0,6 m	Ø 0,6 m
Rodzaj i typ obciążenia (anteny)	50	60	62	67	70
Wymiar obciążenia (rozmiary anteny)	1 x 1	1 x 1	1 x 1	1 x 1	1 x 1
Wysokość zainstalowania [m n.p.t.]	Brak danych	Brak danych	Brak danych	Brak danych	Brak danych
Konfiguracja [piętra x ściany]	Brak danych	371,54 W	800 W	Brak danych	Brak danych
Zysk energetyczny	Kierunkowa	Kierunkowa	Kierunkowa	Kierunkowa	Kierunkowa
Moc promieniowana (EiRP)	144,7° Pyrzyce, ul. Jana Pawła II	196,7° Gardno, ul. Imnowacyjna	56,2° kier. Szczecin ul. Tartaczna	318,4° Szczecin, ul. Jagiellońska 44	105,6° Stargard, ul. Metalowa
Charakterystyka promieniowania	Brak danych	Brak danych	Brak danych	Brak danych	Brak danych
Azymut	Andrew	RFS	Andrew	Andrew	Andrew
Polaryzacja					
Producent					

Tabela 1. Dane techniczne źródeł promieniowania elektromagnetycznego – urządzenia Emitel

Nr źródła	6	7	8	9	10
Użytkownik	Emitel S.A.	Emitel S.A.	Emitel S.A.	Emitel S.A.	Emitel S.A.
Nazwa i typ urządzenia	LR	LR	LR	LR	LR
Numer fabryczny	09ACZ10526582	20CZ180023447	20CZ180023447	16CZ030543927	BE61622647
Producent	Brak danych	Brak danych	Brak danych	Brak danych	Brak danych
Rok produkcji	Brak danych	Brak danych	Brak danych	2016	2016
Rok uruchomienia	2018	2020	2020	2016	2016
Dziedzina zastosowań	Radiokomunikacja	Radiokomunikacja	Radiokomunikacja	Radiokomunikacja	Radiokomunikacja
Częstotliwość znamionowa	Pasmo 23 GHz	Pasmo 23 GHz	Pasmo 23 GHz	Pasmo 23 GHz	Pasmo 23 GHz
Rodzaj modulacji	Brak danych	32QAM	32QAM	Brak danych	Brak danych
Moc wyjściowa znamionowa	Brak danych	Brak danych	Brak danych	Brak danych	Brak danych
Moc wyjściowa rzeczywista	Brak danych	19 dBm	19 dBm	Brak danych	Brak danych
Efektywny czas pracy źródła [h/dobę]	24	24	24	24	24
Rodzaj toru przesyłowego	Urządzenia nadawcze zainstalowane przy antenie	Urządzenia nadawcze zainstalowane przy antenie	Urządzenia nadawcze zainstalowane przy antenie	Urządzenia nadawcze zainstalowane przy antenie	Urządzenia nadawcze zainstalowane przy antenie
Długość toru					
Straty w torze					
Rodzaj i typ obciążenia (anteny)	VHLP2-23-NC3	VHLP4-23-NC3	VHLP4-23-NC3	UKY 220 69/SC15	UKY 220 69/SC15
Wymiar obciążenia (rozmiary anteny)	Ø 0,6m	Ø 1,2 m	Ø 1,2 m	Ø 0,3m	Ø 0,3m
Wysokość zainstalowania [m n.p.t.]	70	70	70	75	75
Konfiguracja [piętra x ściany]	1 x 1	1 x 1	1 x 1	1 x 1	1 x 1
Zysk energetyczny	Brak danych	Brak danych	Brak danych	Brak danych	Brak danych
Moc promieniowana (EIRP)	Brak danych	2818,38 W	2818,38 W	Brak danych	Brak danych
Charakterystyka promieniowania	Kierunkowa	Kierunkowa	Kierunkowa	Kierunkowa	Kierunkowa
Azymut	15,5° Szczecin, ul. Goleniowska DPD	267,2° Kołbaskowo 70 TATA	267,2° Kołbaskowo 70 KION	20,9° Szczecin ul. Kabłowa 1/13 (DSV)	20,3° Szczecin ul. Kabłowa 1 (INTER CARS)
Polaryzacja	Brak danych	V	V	Brak danych	Brak danych
Producent	Andrew	Andrew	Andrew	Ericsson	Ericsson

Tabela 1. Dane techniczne źródeł promieniowania elektromagnetycznego – urządzenia Emitel

Nr źródła	11	12	13	14	15
Użytkownik	Emitel S.A.	Emitel S.A.	Emitel S.A.	Emitel S.A.	Emitel S.A.
Nazwa i typ urządzenia	LR	LR	LR	LR	LR
Urządzenie	15CZ03175604 Brak danych Brak danych 2016 Radiokomunikacja Pasma 23 GHz Brak danych Brak danych Brak danych 24 Urządzenia nadawcze zainstalowane przy antenie	18CZ030625301 Brak danych Brak danych 2018 Radiokomunikacja Pasma 13 GHz Brak danych Brak danych Brak danych 24 Urządzenia nadawcze zainstalowane przy antenie	Brak danych Brak danych Brak danych 2010 Radiokomunikacja Pasma 7 GHz Brak danych Brak danych Brak danych 24 Urządzenia nadawcze przy antenie	10ACZ10001299 Brak danych Brak danych 2013 Radiokomunikacja Pasma 13 GHz Brak danych Brak danych Brak danych 24 Urządzenia nadawcze przy antenie	13CZ032220142 Brak danych Brak danych 2020 Radiokomunikacja Pasma 18 GHz Brak danych Brak danych Brak danych 24 Urządzenia nadawcze przy antenie
Tor	UKY 220 69/SC15 Ø 0,3m 75 1 x 1 Brak danych Brak danych Kierunkowa 19,6° kier OOM Szczecin ul. Kabłowa (COCA COLA) Brak danych Ericsson	VHLP1-13-NC3 Ø 0,3 m 83 1 x 1 Brak danych Brak danych Kierunkowa 347,8° Szczecin, ul. Nad Odrą PSP Brak danych Andrew	HPX8-65 Ø 2,4 m 100 1 x 1 Brak danych Brak danych Kierunkowa 162,3° kier.SLR Mysłibórz Wilkp. V/H Andrew	VHLP2-13S-NC3 Ø 0,6 m 102 1 x 1 Brak danych Brak danych Kierunkowa 85,2° OM Stargard ul. Przemysłowa 5 Brak danych Andrew	VHLP2-18-NC3 Ø 0,6 m 120 1 x 1 Brak danych Brak danych Kierunkowa 321,7° OM Szczecin, ul. Celna Brak danych Andrew
Obciążenie (antena)					
Rodzaj i typ obciążenia (anteny)					
Wymiar obciążenia (rozmiary anteny)					
Wysokość zainstalowania [m n.p.t.]					
Konfiguracja [piętra x ściany]					
Zysk energetyczny					
Moc promieniowana (EIRP)					
Charakterystyka promieniowania					
Azymut					
Polaryzacja					
Producent					

Tabela 1. Dane techniczne źródeł promieniowania elektromagnetycznego – urządzenia Emitel

Nr źródła	16	17	18	19	20
Użytkownik	Emitel S.A.	Emitel S.A.	Emitel S.A.	Emitel S.A.	Emitel S.A.
Nazwa i typ urządzenia	LR	LR	LR	LR	LR Ipasolink
Numer fabryczny	BE61624929	12CZ030424264	07ACZ10507754	04ACZ10643895	08ACZ10929246
Producent	Brak danych	Brak danych	Brak danych	Brak danych	Brak danych
Rok produkcji	2016	2012	Brak danych	Brak danych	Brak danych
Rok uruchomienia	2017	2013	2017	2020	2021
Dziedzina zastosowań	Radiokomunikacja	Radiokomunikacja	Radiokomunikacja	Radiokomunikacja	Radiokomunikacja
Częstotliwość znamionowa	Pasmo 23 GHz	Pasmo 38 GHz	Pasmo 13 GHz	Pasmo 23 GHz	Pasmo 18 GHz
Rodzaj modulacji	Brak danych	Brak danych	16QAM	16QAM	Brak danych
Moc wyjściowa znamionowa	Brak danych	Brak danych	Brak danych	Brak danych	Brak danych
Moc wyjściowa rzeczywista	Brak danych	Brak danych	22,5 dBm	22 dBm	Brak danych
Efektywny czas pracy źródła [h/dobę]	24	24	24	24	24
Rodzaj toru przesyłowego	Urządzenia nadawcze przy antenie	Urządzenia nadawcze przy antenie	Urządzenia nadawcze przy antenie	Urządzenia nadawcze przy antenie	Urządzenia nadawcze przy antenie
Długość toru					
Straty w torze					
Rodzaj i typ obciążenia (anteny)	UKY 220 45/SC15	VHLP1-38-NC3	VHLP2-13S-NC3	VHLP2-23-NC3	VHLP2-18-NC3
Wymiar obciążenia (rozmiary anteny)	Ø 0,6 m	Ø 0,3 m	Ø 0,6 m	Ø 0,6 m	Ø 0,6 m
Wysokość zainstalowania [m n.p.t.]	120	120	120	132	121
Konfiguracja [piętra x ściany]	1 x 1	1 x 1	1 x 1	1 x 1	1 x 1
Zysk energetyczny	Brak danych	Brak danych	Brak danych	Brak danych	Brak danych
Moc promieniowana (EIRP)	Brak danych	Brak danych	660,69 W	1479,11 W	Brak danych
Charakterystyka promieniowania	Kierunkowa	Kierunkowa	Kierunkowa	Kierunkowa	Kierunkowa
Azymut	302,9° Szczecin ul. Południowa MAKRO	340,4° Szczecin ul. Hangarowa	145,4° Pyrzyce pl. Ratuszowy 1	308,9° Szczecin ul. Lednicka 6D	304,4° OM Szczecin / ul. Południowa
Polaryzacja	Brak danych	Brak danych	V	V	V
Producent	Ericsson	Andrew	Andrew	Andrew	Andrew

Tabela 1. Dane techniczne źródeł promieniowania elektromagnetycznego – urzędzenia Emitel

Nr źródła	21	22	23	24	25
Użytkownik	Emitel S.A.	Emitel S.A.	Emitel S.A.	Program 3 PR	Program 1 PR
Nazwa i typ urządzenia	LR	Linia Radiowa	LR	Nadajnik 2K10	Nadajnik 2K10
Numer fabryczny	12CZ031571924	06ACZ10112173	18CZ030978431	161	163
Producent	Brak danych	Brak danych	Brak danych	Elektrolink	Elektrolink
Rok produkcji	Brak danych	Brak danych	Brak danych	2010	2010
Rok uruchomienia	2019	2012	2019	2010	2010
Dziedzina zastosowań	Radiokomunikacja	Radiokomunikacja	Radiokomunikacja	Radiodyfuzja	Radiodyfuzja
Częstotliwość znamionowa	Pasmo 23 GHz	Pasmo 13 GHz	Pasmo 23 GHz	102,3 MHz	100,3 MHz
Rodzaj modulacji	Brak danych	Brak danych	Brak danych	FM	FM
Moc wyjściowa znamionowa	Brak danych	Brak danych	Brak danych	10 kW	10 kW
Moc wyjściowa rzeczywista	Brak danych	Brak danych	Brak danych	5,16 kW	5,16 kW
Efektywny czas pracy źródła [h/dobę]	24	24	24	24	24
Rodzaj toru przesyłowego				HF 1 1/8"	HF 1 1/8"
Długość toru				188,5 m	188,5 m
Straty w torze				0,907 dB	0,890 dB
Rodzaj i typ obciążenia (anteny)	VHLP1-23-NC3	VHLP 4-130-NC3	VHLP 4-23-NC3	K 52 31 188	K 52 31 188
Wymiar obciążenia (rozmiary anteny)	Brak danych	Ø 1,2 m	Ø 1,2 m	Brak danych	Brak danych
Wykosć zainstalowania [m n.p.t.]	135	135	135	153	153
Konfiguracja [piętra x ściany]	1 x 1	1 x 1	1 x 1	6 x 3	6 x 3
Zysk energetyczny	Brak danych	Brak danych	Brak danych	10,83 dBd	10,75 dBd
Moc promieniowana (EIRP)	Brak danych	Brak danych	Brak danych	98,4 kW	98,4 kW
Charakterystyka promieniowania	Kierunkowa	Kierunkowa	Kierunkowa	Dookólna	Dookólna
Azymut	308,9° Szczecin ul. Chmielewskiego	182,1° OM Banie ul. Targowa	52,4° Szczecin, ul. Sokołowskiiego	70°; 170°; 350°	70°; 170°; 350°
Polaryzacja	Brak danych	Brak danych	H + V	Pozioma	Pozioma
Producent	Andrew	Andrew	Andrew	Kathrein	Kathrein

Tabela 1. Dane techniczne źródeł promieniowania elektromagnetycznego – urzędującego Emitel

Nr źródła	26	27	28	29	30
Użytkownik	RMF FM	Radio ZET	Radio PLUS Szczecin	Radio SZCZECIN	DVB-T MUX 8
Nazwa i typ urządzenia	Nadajnik 2K10	Nadajnik 2K10	Nadajnik ECRESO FM 2000 W	Nadajnik 2K10	DTV-M20/2R2P
Numer fabryczny	162	160	E2000730	159	FTX-ADA0001
Producent	Electrolink	Electrolink	WorldCast Systems	Electrolink	NEC
Rok produkcji	2010	2010	2020	2010	2016
Rok uruchomienia	2010	2010	2020	2010	2016
Dziedzina zastosowań	Radiodyfuzja	Radiodyfuzja	Radiodyfuzja	Radiodyfuzja	Radiodyfuzja
Częstotliwość znamionowa	106,7 MHz	95,2 MHz	88,9 MHz	92 MHz	184,5 MHz
Rodzaj modulacji	FM	FM	FM	FM	Brak danych
Moc wyjściowa znamionowa	6,5 kW	6,5 kW	2,0 kW	10 kW	2,2 kW
Moc wyjściowa rzeczywista	4,87 kW	5,4 kW	0,96 kW	8,855 kW	1,35 kW
Efektywny czas pracy źródła [h/dobę]	24	24	24	24	24
Rodzaj toru przesyłowego	HF 1 1/8"	HF 1 1/8"	HF 1 1/8"	HF50-78-D	HCA400-50J
Długość toru	188,5m	188,5m	188,5m	200 m	226 m
Straty w torze	0,907 dB	0,890 dB	0,854 dB	1,19 dB	2,3 dB
Rodzaj i typ obciążenia (anteny)	K 52 31 188	K 52 31 188	K 52 31 188	ADB 4611	K 52 30 57
Wymiar obciążenia (rozmiary anteny)	Brak danych	Brak danych	Brak danych	Brak danych	Brak danych
Wysokość zainstalowania [m n.p.t.]	153	153	153	177	223
Konfiguracja [piętra x ściany]	6 x 3	6 x 3	6 x 3	6 x 3	10 x 5
Zysk energetyczny	11,03 dBd	10,58 dBd	11,38 dBd	9,5 dBd	14,02 dBd
Moc promieniowana (EIRP)	98,4 kW	98,4 kW	16,4 kW	98,4 kW	32,8 kW
Charakterystyka promieniowania	Dookólna	Dookólna	Dookólna	Dookólna	Dookólna
Azymut	70°; 170°; 350°	70°; 170°; 350°	70°; 170°; 350°	16°; 136°; 246°	53°/126°/191°/268°/340°
Polaryzacja	Pozioma	Pozioma	Pozioma	Pozioma	Pozioma
Producent	Kathrein	Kathrein	Kathrein	Tesla	Kathrein

Tabela 1. Dane techniczne źródeł promieniowania elektromagnetycznego – urzędzenia Emitel

Nr źródła	31	32	33	34	35	36
Użytkownik	MUX R3	MUX 4	DVB-T MUX 3	DVB-T MUX 2	DVB-T MUX 1	DVB-T2 MUX TVP Test
Nazwa i typ urządzenia	TMV9	THU9evo	THU9	TDV 3006	TDV 3005	THU9evo
Numer fabryczny	102079	ID: 2065.1240.30-103983-em	2109.9004K02-100840-aq	011/2010	0004/2012	ID:2065.1240.30-103982-Nz
Producent	Rohde & Schwarz	Rohde & Schwarz	Rohde & Schwarz	Plish	Plish	R&S
Rok produkcji	2016	2021	2013	2010	2012	2021
Rok uruchomienia	2014	2012	2013	2010	2012	2021
Dziedzina zastosowań	Radiodyfuzja	Radiodyfuzja	Radiodyfuzja	Radiodyfuzja	Radiodyfuzja	Radiodyfuzja
Częstotliwość znamionowa	216,93 MHz	546 MHz	690,0 MHz	578,0 MHz	634,0 MHz	602 MHz
Rodzaj modulacji	Brak danych	Brak danych	Brak danych	Brak danych	Brak danych	Brak danych
Moc wyjściowa znamionowa	2,2 kW	4,5 kW	4,65 kW	4 kW	3,2 kW	4,5 kW
Moc wyjściowa rzeczywista	1,54 kW	2,92 kW	2,83 kW	2,58 kW	3,0 kW	2515 W
Efektywny czas pracy źródła [h/dobę]	24	24	24	24	24	24
Rodzaj toru przesyłowego	HF 4 1/8"	HCA618-50JFN	HCA618-50JFN	HCA618-50JFN	HCA618-50JFN	HCA618-50JFN
Długość toru	210 m	258 m	258 m	258 m	258 m	258 m
Straty w torze	2,51 dB	2,54 dB	2,910 dB	2,390 dB	2,691 dB	2,54 dB
Rodzaj i typ obciążenia (anteny)	TA 3-21/50	64 x PHP-4S	64 x PHP-4S	64 x PHP-4S	64 x PHP-4S	64 x PHP-4S
Wymiar obciążenia (rozmiary anteny)	Brak danych	Brak danych	Brak danych	Brak danych	Brak danych	Brak danych
Wysokość zainstalowania [m n.p.t.]	235	258	258	258	258	258
Konfiguracja [piętra x ściany]	8 x 1	16 x 4	16 x 4	16 x 4	16 x 4	16 x 4
Zysk energetyczny	12,40 dBd	17,89 dBd	18,4 dBd	18,27 dBd	17,92 dBd	18,54 dBd
Moc promieniowana (EIRP)	24,6 kW	164 kW	164 kW	164 kW	164 kW	164 kW
Charakterystyka promieniowania	Dookólna	Dookólna	Dookólna	Dookólna	Dookólna	Dookólna
Azymut	90°	0°/90°/180°/270°	0°/90°/180°/270°	0°/90°/180°/270°	0°/90°/180°/270°	0°/90°/180°/270°
Polaryzacja	Pionowa	Pozioma	Pozioma	Pozioma	Pozioma	Pozioma
Producent	Elti	RFS	RFS	RFS	RFS	RFS

Tabela 2. Dane techniczne źródeł promieniowania elektromagnetycznego – urządzenia innych operatorów

Nr źródła	1	2	3	4	5	6
Użytkownik	Orange Polska S.A.	Gustaw Gemini	POLKOMTEL	Orange Polska S.A.	TP Teletech	POLKOMTEL
Nazwa i typ urządzenia	Stacja bazowa	Brak danych	Stacja bazowa	Linia radiowa	Brak danych	Linia radiowa
Dziedzina zastosowań	Radiokomunikacja	Radiokomunikacja	Radiokomunikacja	Radiokomunikacja	Radiokomunikacja	Radiokomunikacja
Częstotliwość znamionowa	790 – 960 MHz	Pasma 144 -174 MHz	790 – 960 MHz	Pasma 23 GHz	Brak danych	Brak danych
Efektywny czas pracy źródła [h/dobę]	24	Doraźnie	24	24	24	24
Rodzaj i typ obciążenia (anteny)	3 x ADU4517R0	Diamond F-22	3 x K 80010826	VHLP1-23	3282	UKY23041/14H
Wymiar obciążenia (rozmiary anteny)	Brak danych	1 = 2,35 m	Brak danych	Ø 0,3 m	L = 5m	Ø 0,3 m
Wysokość zainstalowania [m n.p.t.]	38/54	43	52,3	54	65	75
Konfiguracja [piętra x ściany]	(1 x 2) + (1x1)	1 x 1	1 x 3	1 x 1	Brak danych	1 x 1
Charakterystyka promieniowania	Sektorowa	Brak danych	Sektorowa	Kierunkowa	Dookólna	Kierunkowa
Azymut	60°/180°/270°	Brak danych	0°/120°/240°	180°	-	0°
Producent	Huawei	Diamond	Kathrein	RFS	Radmor	Ericsson

Tabela 2. Dane techniczne źródeł promieniowania elektromagnetycznego – urządzenia innych operatorów

Nr źródła	7	8	9	10	11	12	13
Użytkownik	PZK	XTRA Maciej Matecki	XTRA Maciej Matecki	XTRA Maciej Matecki	P4 Sp. z o.o.	KWP Szczecin	KWP Szczecin
Nazwa i typ urządzenia	Brak danych	Stacja bazowa	Linia radiowa	Stacja bazowa	Stacja bazowa	Brak danych	Brak danych
Dziedzina zastosowań	Radiokomunikacja	Radiokomunikacja	Radiokomunikacja	Radiokomunikacja	Radiokomunikacja	Radiokomunikacja	Radiokomunikacja
Częstotliwość znamionowa	Pasma 145-148 i 435-450 MHz	Pasma 5 GHz	Brak danych	Pasma 5 GHz	790 – 960 MHz	Brak danych	Brak danych
Efektywny czas pracy źródła [h/dobę]	24	24	24	24	24	24	24
Rodzaj i typ obciążenia (anteny)	Diamond X-300	AM-5G19-120	RD-5G30	AP-5AC-90-HD	AQU4518RS	Brak danych	EAP321
Wymiar obciążenia (rozmiary anteny)	1 = 2,9m	Brak danych	Brak danych	Brak danych	Brak danych	L = 2,8 m	L = 2,5 m
Wysokość zainstalowania [m n.p.t.]	77	80	80	80	86	120	124,2
Konfiguracja [piętra x ściany]	1 x 1	1 x 1	1 x 1	1 x 1	1 x 3	Brak danych	Brak danych
Charakterystyka promieniowania	Dookólna	Sektorowa	Brak danych	Sektorowa	Sektorowa	Dookólna	Dookólna
Azymut	-	345°	45°	280°	0°/120°/240°	-	-
Producent	Diamond	Ubiquiti	Ubiquiti	Ubiquiti	Kathrein	Brak danych	Brak danych

3. Opis pomiarów

Podstawa wykonania pomiarów:

- Ustawa z dnia 27 kwietnia 2001 r. Prawo ochrony środowiska /tekst pierwotny: Dz.U. 2001.62.627, tekst ujednolicony: Dz.U. z 2020 poz. 1219, 1378, 1565

Metodyka pomiarowa zgodna z:

- Rozporządzeniem Ministra Zdrowia z dnia 17 grudnia 2019 r. w sprawie dopuszczalnych poziomów pól elektromagnetycznych w środowisku /Dz.U. 2019 poz. 2448/
- Rozporządzeniem Ministra Klimatu z dnia 17 lutego 2020 r. w sprawie sposobów sprawdzania dotrzymania dopuszczalnych poziomów pól elektromagnetycznych w środowisku /Dz.U. 2020 poz. 258, pkt 25 ppkt 1/

Miejsca przeprowadzenia pomiarów:	obszar pomiarowy w otoczeniu obiektu, wyznaczony zgodnie z obowiązującą metodyką pomiarową; ze względu na zagrożenie wirusem COVID-19 pomiary wykonano w miejscach ogólnie dostępnych - nie wykonywano pomiarów w budynkach
Data pomiarów w terenie:	13 sierpnia 2021 r.
Warunki ekspozycji:	normalne warunki eksploatacji urządzeń
Temperatura zewnętrzna:	+26,5 ÷ 29,0°C
Wilgotność powietrza:	40 ÷ 45 %
Opady atmosferyczne:	brak
Wykonawca pomiarów:	Gonet i Wspólnicy, Spółka Jawna, ul. Armii Krajowej 3/306, 38-400 Krosno; Laboratorium Badawcze
System zarządzania jakością:	zgodny z PN-EN ISO/IEC 17025:2018
Potwierdzenie kompetencji laboratorium:	akredytacja PCA nr AB 791, ważna do dnia 15.03.2023 r. ^{*)}
<i>*) akredytacja Laboratorium w odniesieniu do normy PN-EN ISO/IEC 17025:2018 oznacza spełnienie wymagań dotyczących kompetencji technicznych i systemu zarządzania, koniecznych dla zapewnienia wiarygodnych technicznie wyników badań; aktualny status oraz zakres akredytacji jest dostępny na stronie www.pca.gov.pl</i>	
Pomiary wykonali:	Kazimierz Zorn – specjalista ds. pomiarów środowiskowych Szymon Zorn - asystent ds. pomiarów
Sposób identyfikacji widma pola:	na podstawie dokumentacji technicznej dostarczonej przez Zleceniodawcę
Zakres częstotliwości emitowanych pól:	pasmo od 88 MHz do 38 GHz

4. Zestaw aparatury pomiarowej**Szerokopasmowy miernik natężenia pola elektromagnetycznego:**

typ: NARDA NBM-550	nr fabryczny: B-0162
zakres temperatury pracy: -10°C do +50°C; zakres wilgotności względnej: 5% do 95%	
sonda EF-6091 nr 01018	zakres pomiaru: częstotliwość $f \in < 80 \text{ MHz} \div 45 \text{ GHz} >$; natężenie pola elektrycznego $E \in < 1,0 \div 300 \text{ V/m} >$; niepewność rozszerzona pomiaru $U_B < 49 \%$, (wsp. rozszerzenia $k_p = 2$; metoda B)
Świadectwo wzorcowania:	nr LWiMP/W/324/20 z dnia 27.11.2020 r.
Bieżąca kontrola metrologiczna:	zgodnie z instrukcją roboczą IR-07 – przyrząd sprawny
Wyznaczenie niepewności rozszerzonej pomiaru:	zgodnie z procedurą PSZ-12

Termohigrometr:

Typ: LB-103	nr fabryczny: 9871
świadectwo wzorcowania:	1672/AH/18 z dnia 23.08.2018 r.

Odbiornik GPS:

typ:	ETREX
nr fabryczny:	89787628

5. Wyniki pomiarów

Wyniki pomiarów natężenia pola elektromagnetycznego w otoczeniu obiektu RTCN Szczecin / Kołowo zestawiono w poniższej tabeli. Ze względu na radiodyfuzyjny charakter obiektu **do wyliczeń wartości wskaźnikowych emisji pól elektromagnetycznych przyjęto mnożnik 1,0.**

Rozmieszczenie pionów pomiarowych przedstawiono graficznie na rysunku 1. oraz opisowo w tabeli z wynikami pomiarów.

Laboratorium przy stwierdzaniu zgodności z wymaganiem stosuje zasadę podejmowania decyzji w oparciu o Rozporządzenie Ministra Klimatu z dnia 17 lutego 2020 r. w sprawie sposobów sprawdzania dotrzymania dopuszczalnych poziomów pól elektromagnetycznych w środowisku - niepewność pomiaru jest uwzględniana w obliczeniach wartości wskaźnikowych poziomu emisji pól elektromagnetycznych dla miejsc dostępnych dla ludności.

Tabela 3. Wyniki pomiarów natężenia pola elektromagnetycznego w otoczeniu obiektu RTCN Szczecin / Kołowo, w warunkach normalnej eksploatacji urządzeń

Nr pionu pomiarowego	Opis miejsca pomiaru	Współrzędne geograficzne pionu pomiarowego		Wynik pomiaru natężenia pola elektrycznego E w paśmie częstotliwości 80 MHz – 45 GHz			Wycieczona wartość natężenia pola magnetycznego H w paśmie częstotliwości 80 MHz – 45 GHz (na podstawie wartości E):
		N	E	Max. wartość zmierzona	Wysokość pomiaru	Wartość E po uwzględnieniu poprawek i niepewności	
-	-	-	-	[V/m]	[m]	[V/m]	[A/m]
A1*	Na głównym kierunku pomiarowym, azymut 0°	53°20'2,2"	14°40'29,5"	2,1	0,6	< 3,0	0,006
A2	Na głównym kierunku pomiarowym, azymut 0°	53°20'2,9"	14°40'29,5"	< 2,0	0,3 – 2,0	< 3,0	< 0,008
A3	Na głównym kierunku pomiarowym, azymut 0°	53°20'3,5"	14°40'29,4"	< 2,0	0,3 – 2,0	< 3,0	< 0,008
A4	Na głównym kierunku pomiarowym, azymut 0°	53°20'4,2"	14°40'29,3"	< 2,0	0,3 – 2,0	< 3,0	< 0,008
A5*	Na głównym kierunku pomiarowym, azymut 0°	53°20'4,8"	14°40'29,3"	< 2,0	0,3 – 2,0	< 3,0	< 0,008
A6	Na głównym kierunku pomiarowym, azymut 0°	53°20'5,5"	14°40'29,2"	< 2,0	0,3 – 2,0	< 3,0	< 0,008
A7	Na głównym kierunku pomiarowym, azymut 0°	53°20'6,1"	14°40'29,1"	< 2,0	0,3 – 2,0	< 3,0	< 0,008
A8	Na głównym kierunku pomiarowym, azymut 0°	53°20'6,8"	14°40'29,1"	< 2,0	0,3 – 2,0	< 3,0	< 0,008
A9	Na głównym kierunku pomiarowym, azymut 0°	53°20'7,4"	14°40'29"	< 2,0	0,3 – 2,0	< 3,0	< 0,008
A10	Na głównym kierunku pomiarowym, azymut 0°	53°20'8,1"	14°40'28,9"	< 2,0	0,3 – 2,0	< 3,0	< 0,008
A11	Na głównym kierunku pomiarowym, azymut 0°	53°20'8,7"	14°40'28,9"	< 2,0	0,3 – 2,0	< 3,0	< 0,008
A12	Na głównym kierunku pomiarowym, azymut 0°	53°20'9,3"	14°40'28,8"	< 2,0	0,3 – 2,0	< 3,0	< 0,008
A13	Na głównym kierunku pomiarowym, azymut 0°	53°20'10"	14°40'28,8"	< 2,0	0,3 – 2,0	< 3,0	< 0,008
A14	Na głównym kierunku pomiarowym, azymut 0°	53°20'10,6"	14°40'28,7"	< 2,0	0,3 – 2,0	< 3,0	< 0,008
A15	Na głównym kierunku pomiarowym, azymut 0°	53°20'11,3"	14°40'28,6"	< 2,0	0,3 – 2,0	< 3,0	< 0,008
A16	Na głównym kierunku pomiarowym, azymut 0°	53°20'11,9"	14°40'28,6"	< 2,0	0,3 – 2,0	< 3,0	< 0,008
A17	Na głównym kierunku pomiarowym, azymut 0°	53°20'12,6"	14°40'28,5"	< 2,0	0,3 – 2,0	< 3,0	< 0,008
A18	Na głównym kierunku pomiarowym, azymut 0°	53°20'13,2"	14°40'28,4"	< 2,0	0,3 – 2,0	< 3,0	< 0,008
A19	Na głównym kierunku pomiarowym, azymut 0°	53°20'13,9"	14°40'28,4"	< 2,0	0,3 – 2,0	< 3,0	< 0,008
A20	Na głównym kierunku pomiarowym, azymut 0°	53°20'14,5"	14°40'28,3"	< 2,0	0,3 – 2,0	< 3,0	< 0,008
A21	Na głównym kierunku pomiarowym, azymut 0°	53°20'15,2"	14°40'28,2"	< 2,0	0,3 – 2,0	< 3,0	< 0,008
A22	Na głównym kierunku pomiarowym, azymut 0°	53°20'15,8"	14°40'28,2"	< 2,0	0,3 – 2,0	< 3,0	< 0,008
A23	Na głównym kierunku pomiarowym, azymut 0°	53°20'16,4"	14°40'28,1"	< 2,0	0,3 – 2,0	< 3,0	< 0,008
A24	Na głównym kierunku pomiarowym, azymut 0°	53°20'17,1"	14°40'28"	< 2,0	0,3 – 2,0	< 3,0	< 0,008
A25	Na głównym kierunku pomiarowym, azymut 0°	53°20'17,7"	14°40'28"	< 2,0	0,3 – 2,0	< 3,0	< 0,008
A26	Na głównym kierunku pomiarowym, azymut 0°	53°20'18,4"	14°40'27,9"	< 2,0	0,3 – 2,0	< 3,0	< 0,008
A27	Na głównym kierunku pomiarowym, azymut 0°	53°20'19"	14°40'27,8"	< 2,0	0,3 – 2,0	< 3,0	< 0,008

Tabela 3. Wyniki pomiarów natężenia pola elektromagnetycznego w otoczeniu obiektu RTCN Szczecin / Kołowo, w warunkach normalnej eksploatacji urządzeń

Nr pionu pomiarowego	Opis miejsca pomiaru	Współrzędne geograficzne pionu pomiarowego		Wynik pomiaru natężenia pola elektrycznego E w paśmie częstotliwości 80 MHz – 45 GHz			Wycieczona wartość natężenia pola magnetycznego H w paśmie częstotliwości 80 MHz – 45 GHz (na podstawie wartości E):
		N	E	Max. wartość zmierzona	Wysokość pomiaru	Wartość E po uwzględnieniu poprawek i niepewności	
-	-	-	-	[V/m]	[m]	[V/m]	[A/m]
A28	Na głównym kierunku pomiarowym, azymut 0°	53°20'19,7"	14°40'27,8"	< 2,0	0,3 – 2,0	< 3,0	< 0,008
A29	Na głównym kierunku pomiarowym, azymut 0°	53°20'20,3"	14°40'27,7"	< 2,0	0,3 – 2,0	< 3,0	< 0,008
A30	Na głównym kierunku pomiarowym, azymut 0°	53°20'21"	14°40'27,6"	< 2,0	0,3 – 2,0	< 3,0	< 0,008
A31	Na głównym kierunku pomiarowym, azymut 0°	53°20'21,6"	14°40'27,6"	< 2,0	0,3 – 2,0	< 3,0	< 0,008
A32	Na głównym kierunku pomiarowym, azymut 0°	53°20'22,3"	14°40'27,5"	< 2,0	0,3 – 2,0	< 3,0	< 0,008
A33	Na głównym kierunku pomiarowym, azymut 0°	53°20'22,9"	14°40'27,4"	< 2,0	0,3 – 2,0	< 3,0	< 0,008
B1*	Na głównym kierunku pomiarowym, azymut 16°	53°20'2,2"	14°40'29,8"	2,5	0,7	3,7	0,010
B2	Na głównym kierunku pomiarowym, azymut 16°	53°20'2,9"	14°40'30,1"	2,2	0,7	3,3	0,009
B3	Na głównym kierunku pomiarowym, azymut 16°	53°20'3,5"	14°40'30,3"	< 2,0	0,3 – 2,0	< 3,0	< 0,008
B4*	Na głównym kierunku pomiarowym, azymut 16°	53°20'4,1"	14°40'30,5"	< 2,0	0,3 – 2,0	< 3,0	< 0,008
B5	Na głównym kierunku pomiarowym, azymut 16°	53°20'4,8"	14°40'30,8"	< 2,0	0,3 – 2,0	< 3,0	< 0,008
B6	Na głównym kierunku pomiarowym, azymut 16°	53°20'5,4"	14°40'31"	< 2,0	0,3 – 2,0	< 3,0	< 0,008
B7	Na głównym kierunku pomiarowym, azymut 16°	53°20'6"	14°40'31,2"	< 2,0	0,3 – 2,0	< 3,0	< 0,008
B8	Na głównym kierunku pomiarowym, azymut 16°	53°20'6,7"	14°40'31,5"	< 2,0	0,3 – 2,0	< 3,0	< 0,008
B9	Na głównym kierunku pomiarowym, azymut 16°	53°20'7,3"	14°40'31,7"	< 2,0	0,3 – 2,0	< 3,0	< 0,008
B10	Na głównym kierunku pomiarowym, azymut 16°	53°20'7,9"	14°40'31,9"	< 2,0	0,3 – 2,0	< 3,0	< 0,008
B11	Na głównym kierunku pomiarowym, azymut 16°	53°20'8,5"	14°40'32,2"	< 2,0	0,3 – 2,0	< 3,0	< 0,008
B12	Na głównym kierunku pomiarowym, azymut 16°	53°20'9,2"	14°40'32,4"	< 2,0	0,3 – 2,0	< 3,0	< 0,008
B13	Na głównym kierunku pomiarowym, azymut 16°	53°20'9,8"	14°40'32,6"	< 2,0	0,3 – 2,0	< 3,0	< 0,008
B14	Na głównym kierunku pomiarowym, azymut 16°	53°20'10,4"	14°40'32,9"	< 2,0	0,3 – 2,0	< 3,0	< 0,008
B15	Na głównym kierunku pomiarowym, azymut 16°	53°20'11,1"	14°40'33,1"	< 2,0	0,3 – 2,0	< 3,0	< 0,008
B16	Na głównym kierunku pomiarowym, azymut 16°	53°20'11,7"	14°40'33,4"	< 2,0	0,3 – 2,0	< 3,0	< 0,008
B17	Na głównym kierunku pomiarowym, azymut 16°	53°20'12,3"	14°40'33,6"	< 2,0	0,3 – 2,0	< 3,0	< 0,008
B18	Na głównym kierunku pomiarowym, azymut 16°	53°20'13"	14°40'33,8"	< 2,0	0,3 – 2,0	< 3,0	< 0,008
B19	Na głównym kierunku pomiarowym, azymut 16°	53°20'13,6"	14°40'34,1"	< 2,0	0,3 – 2,0	< 3,0	< 0,008
B20	Na głównym kierunku pomiarowym, azymut 16°	53°20'14,2"	14°40'34,3"	< 2,0	0,3 – 2,0	< 3,0	< 0,008
B21	Na głównym kierunku pomiarowym, azymut 16°	53°20'14,9"	14°40'34,5"	< 2,0	0,3 – 2,0	< 3,0	< 0,008

Tabela 3. Wyniki pomiarów natężenia pola elektromagnetycznego w otoczeniu obiektu RTCN Szczecin / Kołowo, w warunkach normalnej eksploatacji urządzeń

Nr pionu pomiarowego	Opis miejsca pomiaru	Współrzędne geograficzne pionu pomiarowego		Wynik pomiaru natężenia pola elektrycznego E w paśmie częstotliwości 80 MHz – 45 GHz			Wycieczona wartość natężenia pola magnetycznego H w paśmie częstotliwości 80 MHz – 45 GHz (na podstawie wartości E):
		N	E	Max. wartość zmierzona	Wysokość pomiaru	Wartość E po uwzględnieniu poprawek i niepewności	
-	-			[V/m]	[m]	[V/m]	[A/m]
B22	Na głównym kierunku pomiarowym, azymut 16°	53°20'15,5"	14°40'34,8"	<2,0	0,3 – 2,0	<3,0	<0,008
B23	Na głównym kierunku pomiarowym, azymut 16°	53°20'16,1"	14°40'35"	<2,0	0,3 – 2,0	<3,0	<0,008
B24	Na głównym kierunku pomiarowym, azymut 16°	53°20'16,8"	14°40'35,2"	<2,0	0,3 – 2,0	<3,0	<0,008
B25	Na głównym kierunku pomiarowym, azymut 16°	53°20'17,4"	14°40'35,5"	<2,0	0,3 – 2,0	<3,0	<0,008
B26	Na głównym kierunku pomiarowym, azymut 16°	53°20'18"	14°40'35,7"	<2,0	0,3 – 2,0	<3,0	<0,008
B27	Na głównym kierunku pomiarowym, azymut 16°	53°20'18,6"	14°40'35,9"	<2,0	0,3 – 2,0	<3,0	<0,008
B28	Na głównym kierunku pomiarowym, azymut 16°	53°20'19,3"	14°40'36,2"	<2,0	0,3 – 2,0	<3,0	<0,008
B29	Na głównym kierunku pomiarowym, azymut 16°	53°20'19,9"	14°40'36,4"	<2,0	0,3 – 2,0	<3,0	<0,008
B30	Na głównym kierunku pomiarowym, azymut 16°	53°20'20,5"	14°40'36,6"	<2,0	0,3 – 2,0	<3,0	<0,008
B31	Na głównym kierunku pomiarowym, azymut 16°	53°20'21,2"	14°40'36,9"	<2,0	0,3 – 2,0	<3,0	<0,008
B32	Na głównym kierunku pomiarowym, azymut 16°	53°20'21,8"	14°40'37,1"	<2,0	0,3 – 2,0	<3,0	<0,008
B33	Na głównym kierunku pomiarowym, azymut 16°	53°20'22,4"	14°40'37,3"	<2,0	0,3 – 2,0	<3,0	<0,008
C1*	Na głównym kierunku pomiarowym, azymut 53°	53°20'2"	14°40'30,4"	2,8	0,8	4,2	0,011
C2	Na głównym kierunku pomiarowym, azymut 53°	53°20'2,4"	14°40'31,2"	3,3	0,7	4,9	0,013
C3	Na głównym kierunku pomiarowym, azymut 53°	53°20'2,9"	14°40'32,1"	4	0,7	6,0	0,016
C4	Na głównym kierunku pomiarowym, azymut 53°	53°20'3,3"	14°40'32,9"	2,6	0,7	3,9	0,010
C5	Na głównym kierunku pomiarowym, azymut 53°	53°20'3,7"	14°40'33,7"	2,1	0,7	3,1	0,008
C6	Na głównym kierunku pomiarowym, azymut 53°	53°20'4,1"	14°40'34,5"	<2,0	0,3 – 2,0	<3,0	<0,008
C7	Na głównym kierunku pomiarowym, azymut 53°	53°20'4,5"	14°40'35,4"	<2,0	0,3 – 2,0	<3,0	<0,008
C8	Na głównym kierunku pomiarowym, azymut 53°	53°20'5"	14°40'36,2"	<2,0	0,3 – 2,0	<3,0	<0,008
C9	Na głównym kierunku pomiarowym, azymut 53°	53°20'5,4"	14°40'37"	<2,0	0,3 – 2,0	<3,0	<0,008
C10	Na głównym kierunku pomiarowym, azymut 53°	53°20'5,8"	14°40'37,8"	<2,0	0,3 – 2,0	<3,0	<0,008
C11	Na głównym kierunku pomiarowym, azymut 53°	53°20'6,2"	14°40'38,6"	<2,0	0,3 – 2,0	<3,0	<0,008
C12	Na głównym kierunku pomiarowym, azymut 53°	53°20'6,6"	14°40'39,5"	<2,0	0,3 – 2,0	<3,0	<0,008
C13	Na głównym kierunku pomiarowym, azymut 53°	53°20'7,1"	14°40'40,3"	<2,0	0,3 – 2,0	<3,0	<0,008
C14	Na głównym kierunku pomiarowym, azymut 53°	53°20'7,5"	14°40'41,1"	<2,0	0,3 – 2,0	<3,0	<0,008
C15	Na głównym kierunku pomiarowym, azymut 53°	53°20'7,9"	14°40'41,9"	<2,0	0,3 – 2,0	<3,0	<0,008

Tabela 3. Wyniki pomiarów natężenia pola elektromagnetycznego w otoczeniu obiektu RTCN Szczecin / Kołowo, w warunkach normalnej eksploatacji urządzeń

Nr pionu pomiarowego	Opis miejsca pomiaru	Współrzędne geograficzne pionu pomiarowego		Wynik pomiaru natężenia pola elektrycznego E w paśmie częstotliwości 80 MHz – 45 GHz			Wycieczona wartość natężenia pola magnetycznego H w paśmie częstotliwości 80 MHz – 45 GHz (na podstawie wartości E):
		N	E	Max. wartość zmierzona	Wysokość pomiaru	Wartość E po uwzględnieniu poprawek i niepewności	
-	-	-	-	[V/m]	[m]	[V/m]	[A/m]
C16	Na głównym kierunku pomiarowym, azymut 53°	53°20'8,3"	14°40'42,8"	< 2,0	0,3 – 2,0	< 3,0	< 0,008
C17	Na głównym kierunku pomiarowym, azymut 53°	53°20'8,7"	14°40'43,6"	< 2,0	0,3 – 2,0	< 3,0	< 0,008
C18	Na głównym kierunku pomiarowym, azymut 53°	53°20'9,2"	14°40'44,4"	< 2,0	0,3 – 2,0	< 3,0	< 0,008
C19	Na głównym kierunku pomiarowym, azymut 53°	53°20'9,6"	14°40'45,2"	< 2,0	0,3 – 2,0	< 3,0	< 0,008
C20	Na głównym kierunku pomiarowym, azymut 53°	53°20'10"	14°40'46"	< 2,0	0,3 – 2,0	< 3,0	< 0,008
C21	Na głównym kierunku pomiarowym, azymut 53°	53°20'10,4"	14°40'46,9"	< 2,0	0,3 – 2,0	< 3,0	< 0,008
C22	Na głównym kierunku pomiarowym, azymut 53°	53°20'10,8"	14°40'47,7"	< 2,0	0,3 – 2,0	< 3,0	< 0,008
C23	Na głównym kierunku pomiarowym, azymut 53°	53°20'11,3"	14°40'48,5"	< 2,0	0,3 – 2,0	< 3,0	< 0,008
C24	Na głównym kierunku pomiarowym, azymut 53°	53°20'11,7"	14°40'49,3"	< 2,0	0,3 – 2,0	< 3,0	< 0,008
C25	Na głównym kierunku pomiarowym, azymut 53°	53°20'12,1"	14°40'50,1"	< 2,0	0,3 – 2,0	< 3,0	< 0,008
C26	Na głównym kierunku pomiarowym, azymut 53°	53°20'12,5"	14°40'51"	< 2,0	0,3 – 2,0	< 3,0	< 0,008
C27	Na głównym kierunku pomiarowym, azymut 53°	53°20'12,9"	14°40'51,8"	< 2,0	0,3 – 2,0	< 3,0	< 0,008
C28	Na głównym kierunku pomiarowym, azymut 53°	53°20'13,4"	14°40'52,6"	< 2,0	0,3 – 2,0	< 3,0	< 0,008
C29	Na głównym kierunku pomiarowym, azymut 53°	53°20'13,8"	14°40'53,4"	< 2,0	0,3 – 2,0	< 3,0	< 0,008
C30	Na głównym kierunku pomiarowym, azymut 53°	53°20'14,2"	14°40'54,3"	< 2,0	0,3 – 2,0	< 3,0	< 0,008
C31	Na głównym kierunku pomiarowym, azymut 53°	53°20'14,6"	14°40'55,1"	< 2,0	0,3 – 2,0	< 3,0	< 0,008
C32	Na głównym kierunku pomiarowym, azymut 53°	53°20'15"	14°40'55,9"	< 2,0	0,3 – 2,0	< 3,0	< 0,008
C33	Na głównym kierunku pomiarowym, azymut 53°	53°20'15,5"	14°40'56,7"	< 2,0	0,3 – 2,0	< 3,0	< 0,008
D1*	Na pomocniczym kierunku pomiarowym, azymut 60°	53°20'2"	14°40'30,5"	2,8	0,7	4,2	0,011
D2	Na pomocniczym kierunku pomiarowym, azymut 60°	53°20'2,3"	14°40'31,4"	3,5	0,7	5,2	0,014
D3	Na pomocniczym kierunku pomiarowym, azymut 60°	53°20'2,7"	14°40'32,3"	4,9	0,7	7,3	0,019
E1*	Na głównym kierunku pomiarowym, azymut 70°	53°20'1,9"	14°40'30,6"	2,4	0,7	3,6	0,009
E2	Na głównym kierunku pomiarowym, azymut 70°	53°20'2,1"	14°40'31,6"	2,4	0,7	3,6	0,009
E3	Na głównym kierunku pomiarowym, azymut 70°	53°20'2,4"	14°40'32,6"	2,1	0,7	3,1	0,008
E4*	Na głównym kierunku pomiarowym, azymut 70°	53°20'2,6"	14°40'33,6"	< 2,0	0,3 – 2,0	< 3,0	< 0,008
E5	Na głównym kierunku pomiarowym, azymut 70°	53°20'2,9"	14°40'34,6"	< 2,0	0,3 – 2,0	< 3,0	< 0,008
E6	Na głównym kierunku pomiarowym, azymut 70°	53°20'3,1"	14°40'35,5"	< 2,0	0,3 – 2,0	< 3,0	< 0,008

Tabela 3. Wyniki pomiarów natężenia pola elektromagnetycznego w otoczeniu obiektu RTCN Szczecin / Kołowo, w warunkach normalnej eksploatacji urządzeń

Nr pionu pomiarowego	Opis miejsca pomiaru	Współrzędne geograficzne pionu pomiarowego		Wynik pomiaru natężenia pola elektrycznego E w paśmie częstotliwości 80 MHz – 45 GHz			Wycieczona wartość natężenia pola magnetycznego H w paśmie częstotliwości 80 MHz – 45 GHz (na podstawie wartości E):
		N	E	Max. wartość zmierzona	Wysokość pomiaru	Wartość E, po uwzględnieniu poprawek i niepewności	
E7	Na głównym kierunku pomiarowym, azymut 70°	53°20'3,4"	14°40'36,5"	< 2,0	0,3 – 2,0	< 3,0	< 0,008
E8	Na głównym kierunku pomiarowym, azymut 70°	53°20'3,7"	14°40'37,5"	< 2,0	0,3 – 2,0	< 3,0	< 0,008
E9	Na głównym kierunku pomiarowym, azymut 70°	53°20'3,9"	14°40'38,5"	< 2,0	0,3 – 2,0	< 3,0	< 0,008
E10	Na głównym kierunku pomiarowym, azymut 70°	53°20'4,2"	14°40'39,5"	< 2,0	0,3 – 2,0	< 3,0	< 0,008
E11	Na głównym kierunku pomiarowym, azymut 70°	53°20'4,4"	14°40'40,5"	< 2,0	0,3 – 2,0	< 3,0	< 0,008
E12	Na głównym kierunku pomiarowym, azymut 70°	53°20'4,7"	14°40'41,5"	< 2,0	0,3 – 2,0	< 3,0	< 0,008
E13	Na głównym kierunku pomiarowym, azymut 70°	53°20'4,9"	14°40'42,5"	< 2,0	0,3 – 2,0	< 3,0	< 0,008
E14	Na głównym kierunku pomiarowym, azymut 70°	53°20'5,2"	14°40'43,5"	< 2,0	0,3 – 2,0	< 3,0	< 0,008
E15	Na głównym kierunku pomiarowym, azymut 70°	53°20'5,5"	14°40'44,5"	< 2,0	0,3 – 2,0	< 3,0	< 0,008
E16	Na głównym kierunku pomiarowym, azymut 70°	53°20'5,7"	14°40'45,5"	< 2,0	0,3 – 2,0	< 3,0	< 0,008
E17	Na głównym kierunku pomiarowym, azymut 70°	53°20'6"	14°40'46,4"	< 2,0	0,3 – 2,0	< 3,0	< 0,008
E18	Na głównym kierunku pomiarowym, azymut 70°	53°20'6,2"	14°40'47,4"	< 2,0	0,3 – 2,0	< 3,0	< 0,008
E19	Na głównym kierunku pomiarowym, azymut 70°	53°20'6,5"	14°40'48,4"	< 2,0	0,3 – 2,0	< 3,0	< 0,008
E20	Na głównym kierunku pomiarowym, azymut 70°	53°20'6,8"	14°40'49,4"	< 2,0	0,3 – 2,0	< 3,0	< 0,008
E21	Na głównym kierunku pomiarowym, azymut 70°	53°20'7"	14°40'50,4"	< 2,0	0,3 – 2,0	< 3,0	< 0,008
E22	Na głównym kierunku pomiarowym, azymut 70°	53°20'7,3"	14°40'51,4"	< 2,0	0,3 – 2,0	< 3,0	< 0,008
E23	Na głównym kierunku pomiarowym, azymut 70°	53°20'7,5"	14°40'52,4"	< 2,0	0,3 – 2,0	< 3,0	< 0,008
E24	Na głównym kierunku pomiarowym, azymut 70°	53°20'7,8"	14°40'53,4"	< 2,0	0,3 – 2,0	< 3,0	< 0,008
E25	Na głównym kierunku pomiarowym, azymut 70°	53°20'8"	14°40'54,4"	< 2,0	0,3 – 2,0	< 3,0	< 0,008
E26	Na głównym kierunku pomiarowym, azymut 70°	53°20'8,3"	14°40'55,4"	< 2,0	0,3 – 2,0	< 3,0	< 0,008
E27	Na głównym kierunku pomiarowym, azymut 70°	53°20'8,6"	14°40'56,4"	< 2,0	0,3 – 2,0	< 3,0	< 0,008
E28	Na głównym kierunku pomiarowym, azymut 70°	53°20'8,8"	14°40'57,3"	< 2,0	0,3 – 2,0	< 3,0	< 0,008
E29	Na głównym kierunku pomiarowym, azymut 70°	53°20'9,1"	14°40'58,3"	< 2,0	0,3 – 2,0	< 3,0	< 0,008
E30	Na głównym kierunku pomiarowym, azymut 70°	53°20'9,3"	14°40'59,3"	< 2,0	0,3 – 2,0	< 3,0	< 0,008
E31	Na głównym kierunku pomiarowym, azymut 70°	53°20'9,6"	14°41'0,3"	< 2,0	0,3 – 2,0	< 3,0	< 0,008
E32	Na głównym kierunku pomiarowym, azymut 70°	53°20'9,8"	14°41'1,3"	< 2,0	0,3 – 2,0	< 3,0	< 0,008
E33	Na głównym kierunku pomiarowym, azymut 70°	53°20'10,1"	14°41'2,3"	< 2,0	0,3 – 2,0	< 3,0	< 0,008

Tabela 3. Wyniki pomiarów natężenia pola elektromagnetycznego w otoczeniu obiektu RTCN Szczecin / Kołowo, w warunkach normalnej eksploatacji urządzeń

Nr pionu pomiarowego	Opis miejsca pomiaru	Współrzędne geograficzne pionu pomiarowego		Wynik pomiaru natężenia pola elektrycznego E w paśmie częstotliwości 80 MHz – 45 GHz			Wycieczona wartość natężenia pola magnetycznego H w paśmie częstotliwości 80 MHz – 45 GHz (na podstawie wartości E):
		N	E	Max. wartość zmierzona	Wysokość pomiaru	Wartość E po uwzględnieniu poprawek i niepewności	
F1*	Na głównym kierunku pomiarowym, azymut 90°	53°20'1,6"	14°40'31,8"	2,3	0,7	3,4	0,009
F2	Na głównym kierunku pomiarowym, azymut 90°	53°20'1,6"	14°40'32,8"	2,2	0,8	3,3	0,009
F3	Na głównym kierunku pomiarowym, azymut 90°	53°20'1,6"	14°40'33,9"	<2,0	0,3 – 2,0	<3,0	<0,008
F4*	Na głównym kierunku pomiarowym, azymut 90°	53°20'1,6"	14°40'35"	<2,0	0,3 – 2,0	<3,0	<0,008
F5	Na głównym kierunku pomiarowym, azymut 90°	53°20'1,6"	14°40'36,1"	<2,0	0,3 – 2,0	<3,0	<0,008
F6	Na głównym kierunku pomiarowym, azymut 90°	53°20'1,6"	14°40'37,1"	<2,0	0,3 – 2,0	<3,0	<0,008
F7	Na głównym kierunku pomiarowym, azymut 90°	53°20'1,6"	14°40'38,2"	<2,0	0,3 – 2,0	<3,0	<0,008
F8	Na głównym kierunku pomiarowym, azymut 90°	53°20'1,6"	14°40'39,3"	<2,0	0,3 – 2,0	<3,0	<0,008
F9	Na głównym kierunku pomiarowym, azymut 90°	53°20'1,6"	14°40'40,4"	<2,0	0,3 – 2,0	<3,0	<0,008
F10	Na głównym kierunku pomiarowym, azymut 90°	53°20'1,6"	14°40'41,5"	<2,0	0,3 – 2,0	<3,0	<0,008
F11	Na głównym kierunku pomiarowym, azymut 90°	53°20'1,6"	14°40'42,5"	<2,0	0,3 – 2,0	<3,0	<0,008
F12	Na głównym kierunku pomiarowym, azymut 90°	53°20'1,6"	14°40'43,6"	<2,0	0,3 – 2,0	<3,0	<0,008
F13	Na głównym kierunku pomiarowym, azymut 90°	53°20'1,6"	14°40'44,7"	<2,0	0,3 – 2,0	<3,0	<0,008
F14	Na głównym kierunku pomiarowym, azymut 90°	53°20'1,6"	14°40'45,8"	<2,0	0,3 – 2,0	<3,0	<0,008
F15	Na głównym kierunku pomiarowym, azymut 90°	53°20'1,6"	14°40'46,9"	<2,0	0,3 – 2,0	<3,0	<0,008
F16	Na głównym kierunku pomiarowym, azymut 90°	53°20'1,6"	14°40'47,9"	<2,0	0,3 – 2,0	<3,0	<0,008
F17	Na głównym kierunku pomiarowym, azymut 90°	53°20'1,6"	14°40'49"	<2,0	0,3 – 2,0	<3,0	<0,008
F18	Na głównym kierunku pomiarowym, azymut 90°	53°20'1,6"	14°40'50,1"	<2,0	0,3 – 2,0	<3,0	<0,008
F19	Na głównym kierunku pomiarowym, azymut 90°	53°20'1,6"	14°40'51,2"	<2,0	0,3 – 2,0	<3,0	<0,008
F20	Na głównym kierunku pomiarowym, azymut 90°	53°20'1,6"	14°40'52,2"	<2,0	0,3 – 2,0	<3,0	<0,008
F21	Na głównym kierunku pomiarowym, azymut 90°	53°20'1,6"	14°40'53,3"	<2,0	0,3 – 2,0	<3,0	<0,008
F22	Na głównym kierunku pomiarowym, azymut 90°	53°20'1,6"	14°40'54,4"	<2,0	0,3 – 2,0	<3,0	<0,008
F23	Na głównym kierunku pomiarowym, azymut 90°	53°20'1,6"	14°40'55,5"	<2,0	0,3 – 2,0	<3,0	<0,008
F24	Na głównym kierunku pomiarowym, azymut 90°	53°20'1,6"	14°40'56,6"	<2,0	0,3 – 2,0	<3,0	<0,008
F25	Na głównym kierunku pomiarowym, azymut 90°	53°20'1,6"	14°40'57,6"	<2,0	0,3 – 2,0	<3,0	<0,008
F26	Na głównym kierunku pomiarowym, azymut 90°	53°20'1,6"	14°40'58,7"	<2,0	0,3 – 2,0	<3,0	<0,008
F27	Na głównym kierunku pomiarowym, azymut 90°	53°20'1,6"	14°40'59,8"	<2,0	0,3 – 2,0	<3,0	<0,008

Tabela 3. Wyniki pomiarów natężenia pola elektromagnetycznego w otoczeniu obiektu RTCN Szczecin / Kołowo, w warunkach normalnej eksploatacji urządzeń

Nr pionu pomiarowego	Opis miejsca pomiaru	Współrzędne geograficzne pionu pomiarowego		Wynik pomiaru natężenia pola elektrycznego E w paśmie częstotliwości 80 MHz – 45 GHz			Wycieczona wartość natężenia pola magnetycznego H w paśmie częstotliwości 80 MHz – 45 GHz (na podstawie wartości E):
		N	E	Max. wartość zmierzona	Wysokość pomiaru	Wartość E po uwzględnieniu poprawek i niepewności	
-	-			[V/m]	[m]	[V/m]	[A/m]
F28	Na głównym kierunku pomiarowym, azymut 90°	53°20'1,6"	14°41'0,9"	<2,0	0,3 – 2,0	<3,0	<0,008
F29	Na głównym kierunku pomiarowym, azymut 90°	53°20'1,6"	14°41'2"	<2,0	0,3 – 2,0	<3,0	<0,008
F30	Na głównym kierunku pomiarowym, azymut 90°	53°20'1,6"	14°41'3"	<2,0	0,3 – 2,0	<3,0	<0,008
F31	Na głównym kierunku pomiarowym, azymut 90°	53°20'1,6"	14°41'4,1"	<2,0	0,3 – 2,0	<3,0	<0,008
F32	Na głównym kierunku pomiarowym, azymut 90°	53°20'1,6"	14°41'5,2"	<2,0	0,3 – 2,0	<3,0	<0,008
G1*	Na głównym kierunku pomiarowym, azymut 126°	53°20'0,2"	14°40'33,2"	2,7	0,7	4,0	0,011
G2	Na głównym kierunku pomiarowym, azymut 126°	53°19'59,9"	14°40'34,2"	2,4	0,7	3,6	0,009
G3	Na głównym kierunku pomiarowym, azymut 126°	53°19'59,5"	14°40'35,1"	2,1	0,7	3,1	0,008
G4	Na głównym kierunku pomiarowym, azymut 126°	53°19'59,2"	14°40'36"	2,4	0,7	3,6	0,009
G5	Na głównym kierunku pomiarowym, azymut 126°	53°19'58,8"	14°40'36,9"	2,2	0,7	3,3	0,009
G6	Na głównym kierunku pomiarowym, azymut 126°	53°19'58,5"	14°40'37,8"	2,1	0,7	3,1	0,008
G7	Na głównym kierunku pomiarowym, azymut 126°	53°19'58,1"	14°40'38,7"	2,5	0,8	3,7	0,010
G8	Na głównym kierunku pomiarowym, azymut 126°	53°19'57,8"	14°40'39,6"	2,4	0,7	3,6	0,009
G9	Na głównym kierunku pomiarowym, azymut 126°	53°19'57,4"	14°40'40,5"	2,1	0,7	3,1	0,008
G10	Na głównym kierunku pomiarowym, azymut 126°	53°19'57,1"	14°40'41,4"	<2,0	0,3 – 2,0	<3,0	<0,008
G11	Na głównym kierunku pomiarowym, azymut 126°	53°19'56,7"	14°40'42,4"	<2,0	0,3 – 2,0	<3,0	<0,008
G12*	Na głównym kierunku pomiarowym, azymut 126°	53°19'56,4"	14°40'43,3"	<2,0	0,3 – 2,0	<3,0	<0,008
G13	Na głównym kierunku pomiarowym, azymut 126°	53°19'56"	14°40'44,2"	<2,0	0,3 – 2,0	<3,0	<0,008
G14	Na głównym kierunku pomiarowym, azymut 126°	53°19'55,7"	14°40'45,1"	<2,0	0,3 – 2,0	<3,0	<0,008
G15	Na głównym kierunku pomiarowym, azymut 126°	53°19'55,3"	14°40'46"	<2,0	0,3 – 2,0	<3,0	<0,008
G16	Na głównym kierunku pomiarowym, azymut 126°	53°19'55"	14°40'46,9"	<2,0	0,3 – 2,0	<3,0	<0,008
G17	Na głównym kierunku pomiarowym, azymut 126°	53°19'54,6"	14°40'47,8"	<2,0	0,3 – 2,0	<3,0	<0,008
G18	Na głównym kierunku pomiarowym, azymut 126°	53°19'54,3"	14°40'48,7"	<2,0	0,3 – 2,0	<3,0	<0,008
G19	Na głównym kierunku pomiarowym, azymut 126°	53°19'53,9"	14°40'49,6"	<2,0	0,3 – 2,0	<3,0	<0,008
G20	Na głównym kierunku pomiarowym, azymut 126°	53°19'53,6"	14°40'50,5"	<2,0	0,3 – 2,0	<3,0	<0,008
G21	Na głównym kierunku pomiarowym, azymut 126°	53°19'53,3"	14°40'51,5"	<2,0	0,3 – 2,0	<3,0	<0,008
G22	Na głównym kierunku pomiarowym, azymut 126°	53°19'52,9"	14°40'52,4"	<2,0	0,3 – 2,0	<3,0	<0,008

Tabela 3. Wyniki pomiarów natężenia pola elektromagnetycznego w otoczeniu obiektu RTCN Szczecin / Kołowo, w warunkach normalnej eksploatacji urządzeń

Nr pionu pomiarowego	Opis miejsca pomiaru	Współrzędne geograficzne pionu pomiarowego		Wynik pomiaru natężenia pola elektrycznego E w paśmie częstotliwości 80 MHz – 45 GHz			Wyliczona wartość natężenia pola magnetycznego H w paśmie częstotliwości 80 MHz – 45 GHz (na podstawie wartości E):
		N	E	Max. wartość zmierzona	Wysokość pomiaru	Wartość E po uwzględnieniu poprawek i niepewności	
-	-	-	-	[V/m]	[m]	[V/m]	[A/m]
G23	Na głównym kierunku pomiarowym, azymut 126°	53°19'52,6"	14°40'53,3"	< 2,0	0,3 – 2,0	< 3,0	< 0,008
G24	Na głównym kierunku pomiarowym, azymut 126°	53°19'52,2"	14°40'54,2"	< 2,0	0,3 – 2,0	< 3,0	< 0,008
G25	Na głównym kierunku pomiarowym, azymut 126°	53°19'51,9"	14°40'55,1"	< 2,0	0,3 – 2,0	< 3,0	< 0,008
G26	Na głównym kierunku pomiarowym, azymut 126°	53°19'51,5"	14°40'56"	< 2,0	0,3 – 2,0	< 3,0	< 0,008
G27	Na głównym kierunku pomiarowym, azymut 126°	53°19'51,2"	14°40'56,9"	< 2,0	0,3 – 2,0	< 3,0	< 0,008
G28	Na głównym kierunku pomiarowym, azymut 126°	53°19'50,8"	14°40'57,8"	< 2,0	0,3 – 2,0	< 3,0	< 0,008
G29	Na głównym kierunku pomiarowym, azymut 126°	53°19'50,5"	14°40'58,7"	< 2,0	0,3 – 2,0	< 3,0	< 0,008
G30	Na głównym kierunku pomiarowym, azymut 126°	53°19'50,1"	14°40'59,7"	< 2,0	0,3 – 2,0	< 3,0	< 0,008
H1*	Na głównym kierunku pomiarowym, azymut 136°	53°19'59,4"	14°40'33,6"	2,4	0,7	3,6	0,009
H2*	Na głównym kierunku pomiarowym, azymut 136°	53°19'59"	14°40'34,4"	2,4	0,7	3,6	0,009
H3	Na głównym kierunku pomiarowym, azymut 136°	53°19'58,5"	14°40'35,2"	2,5	0,7	3,7	0,010
H4	Na głównym kierunku pomiarowym, azymut 136°	53°19'58,1"	14°40'36"	2,1	0,7	3,1	0,008
H5	Na głównym kierunku pomiarowym, azymut 136°	53°19'57,7"	14°40'36,8"	< 2,0	0,3 – 2,0	< 3,0	< 0,008
H6	Na głównym kierunku pomiarowym, azymut 136°	53°19'57,2"	14°40'37,6"	< 2,0	0,3 – 2,0	< 3,0	< 0,008
H7	Na głównym kierunku pomiarowym, azymut 136°	53°19'56,8"	14°40'38,4"	2,3	0,7	3,4	0,009
H8	Na głównym kierunku pomiarowym, azymut 136°	53°19'56,4"	14°40'39,2"	3,0	0,7	4,5	0,012
H9	Na głównym kierunku pomiarowym, azymut 136°	53°19'55,9"	14°40'40"	2,4	0,7	3,6	0,009
H10	Na głównym kierunku pomiarowym, azymut 136°	53°19'55,5"	14°40'40,7"	2,1	0,7	3,1	0,008
H11	Na głównym kierunku pomiarowym, azymut 136°	53°19'55"	14°40'41,5"	< 2,0	0,3 – 2,0	< 3,0	< 0,008
H12	Na głównym kierunku pomiarowym, azymut 136°	53°19'54,6"	14°40'42,3"	< 2,0	0,3 – 2,0	< 3,0	< 0,008
H13	Na głównym kierunku pomiarowym, azymut 136°	53°19'54,2"	14°40'43,1"	< 2,0	0,3 – 2,0	< 3,0	< 0,008
H14	Na głównym kierunku pomiarowym, azymut 136°	53°19'53,7"	14°40'43,9"	< 2,0	0,3 – 2,0	< 3,0	< 0,008
H15	Na głównym kierunku pomiarowym, azymut 136°	53°19'53,3"	14°40'44,7"	< 2,0	0,3 – 2,0	< 3,0	< 0,008
H16	Na głównym kierunku pomiarowym, azymut 136°	53°19'52,9"	14°40'45,5"	< 2,0	0,3 – 2,0	< 3,0	< 0,008
H17	Na głównym kierunku pomiarowym, azymut 136°	53°19'52,4"	14°40'46,3"	< 2,0	0,3 – 2,0	< 3,0	< 0,008
H18	Na głównym kierunku pomiarowym, azymut 136°	53°19'52"	14°40'47,1"	< 2,0	0,3 – 2,0	< 3,0	< 0,008
H19	Na głównym kierunku pomiarowym, azymut 136°	53°19'51,5"	14°40'47,9"	< 2,0	0,3 – 2,0	< 3,0	< 0,008

Tabela 3. Wyniki pomiarów natężenia pola elektromagnetycznego w otoczeniu obiektu RTCN Szczecin / Kołowo, w warunkach normalnej eksploatacji urządzeń

Nr pionu pomiarowego	Opis miejsca pomiaru	Współrzędne geograficzne pionu pomiarowego		Wynik pomiaru natężenia pola elektrycznego E w paśmie częstotliwości 80 MHz – 45 GHz			Wycieczona wartość natężenia pola magnetycznego H w paśmie częstotliwości 80 MHz – 45 GHz (na podstawie wartości E):
		N	E	Max. wartość zmierzona	Wysokość pomiaru	Wartość E po uwzględnieniu poprawek i niepewności	
-	-			[V/m]	[m]	[V/m]	[A/m]
H20	Na głównym kierunku pomiarowym, azymut 136°	53°19'51,1"	14°40'48,7"	<2,0	0,3 – 2,0	<3,0	<0,008
H21	Na głównym kierunku pomiarowym, azymut 136°	53°19'50,7"	14°40'49,5"	<2,0	0,3 – 2,0	<3,0	<0,008
H22	Na głównym kierunku pomiarowym, azymut 136°	53°19'50,2"	14°40'50,3"	<2,0	0,3 – 2,0	<3,0	<0,008
H23	Na głównym kierunku pomiarowym, azymut 136°	53°19'49,8"	14°40'51,1"	<2,0	0,3 – 2,0	<3,0	<0,008
H24	Na głównym kierunku pomiarowym, azymut 136°	53°19'49,4"	14°40'51,9"	<2,0	0,3 – 2,0	<3,0	<0,008
H25	Na głównym kierunku pomiarowym, azymut 136°	53°19'48,9"	14°40'52,7"	<2,0	0,3 – 2,0	<3,0	<0,008
H26	Na głównym kierunku pomiarowym, azymut 136°	53°19'48,5"	14°40'53,5"	<2,0	0,3 – 2,0	<3,0	<0,008
H27	Na głównym kierunku pomiarowym, azymut 136°	53°19'48"	14°40'54,3"	<2,0	0,3 – 2,0	<3,0	<0,008
H28	Na głównym kierunku pomiarowym, azymut 136°	53°19'47,6"	14°40'55,1"	<2,0	0,3 – 2,0	<3,0	<0,008
H29	Na głównym kierunku pomiarowym, azymut 136°	53°19'47,2"	14°40'55,9"	<2,0	0,3 – 2,0	<3,0	<0,008
J1*	Na pomocniczym kierunku pomiarowym, azymut 150°	53°19'58,4"	14°40'33,2"	2,3	0,7	3,4	0,009
J2*	Na pomocniczym kierunku pomiarowym, azymut 150°	53°19'57,8"	14°40'33,8"	2,1	0,7	3,1	0,008
J3	Na pomocniczym kierunku pomiarowym, azymut 150°	53°19'57,3"	14°40'34,4"	<2,0	0,3 – 2,0	<3,0	<0,008
J4	Na pomocniczym kierunku pomiarowym, azymut 150°	53°19'56,7"	14°40'35"	<2,0	0,3 – 2,0	<3,0	<0,008
K1*	Na głównym kierunku pomiarowym, azymut 170°	53°19'57,8"	14°40'31,1"	<2,0	0,3 – 2,0	<3,0	<0,008
K2*	Na głównym kierunku pomiarowym, azymut 170°	53°19'57,2"	14°40'31,4"	<2,0	0,3 – 2,0	<3,0	<0,008
K3	Na głównym kierunku pomiarowym, azymut 170°	53°19'56,6"	14°40'31,6"	<2,0	0,3 – 2,0	<3,0	<0,008
K4	Na głównym kierunku pomiarowym, azymut 170°	53°19'55,9"	14°40'31,9"	<2,0	0,3 – 2,0	<3,0	<0,008
K5	Na głównym kierunku pomiarowym, azymut 170°	53°19'55,3"	14°40'32,1"	2,2	0,8	3,3	0,009
K6	Na głównym kierunku pomiarowym, azymut 170°	53°19'54,7"	14°40'32,4"	<2,0	0,3 – 2,0	<3,0	<0,008
K7	Na głównym kierunku pomiarowym, azymut 170°	53°19'54,1"	14°40'32,6"	<2,0	0,3 – 2,0	<3,0	<0,008
K8	Na głównym kierunku pomiarowym, azymut 170°	53°19'53,4"	14°40'32,9"	<2,0	0,3 – 2,0	<3,0	<0,008
K9	Na głównym kierunku pomiarowym, azymut 170°	53°19'52,8"	14°40'33,1"	<2,0	0,3 – 2,0	<3,0	<0,008
K10	Na głównym kierunku pomiarowym, azymut 170°	53°19'52,2"	14°40'33,4"	<2,0	0,3 – 2,0	<3,0	<0,008
K11	Na głównym kierunku pomiarowym, azymut 170°	53°19'51,5"	14°40'33,6"	<2,0	0,3 – 2,0	<3,0	<0,008
K12	Na głównym kierunku pomiarowym, azymut 170°	53°19'50,9"	14°40'33,9"	<2,0	0,3 – 2,0	<3,0	<0,008
K13	Na głównym kierunku pomiarowym, azymut 170°	53°19'50,3"	14°40'34,1"	<2,0	0,3 – 2,0	<3,0	<0,008

Tabela 3. Wyniki pomiarów natężenia pola elektromagnetycznego w otoczeniu obiektu RTCN Szczecin / Kołowo, w warunkach normalnej eksploatacji urządzeń

Nr pionu pomiarowego	Opis miejsca pomiaru	Współrzędne geograficzne pionu pomiarowego		Wynik pomiaru natężenia pola elektrycznego E w paśmie częstotliwości 80 MHz – 45 GHz			Wycieczona wartość natężenia pola magnetycznego H w paśmie częstotliwości 80 MHz – 45 GHz (na podstawie wartości E): [A/m]
		N	E	Max. wartość zmierzona	Wysokość pomiaru	Wartość E po uwzględnieniu poprawek i niepewności	
K14	Na głównym kierunku pomiarowym, azymut 170°	53°19'49,6"	14°40'34,4"	< 2,0	0,3 – 2,0	< 3,0	< 0,008
K15	Na głównym kierunku pomiarowym, azymut 170°	53°19'49"	14°40'34,6"	< 2,0	0,3 – 2,0	< 3,0	< 0,008
K16	Na głównym kierunku pomiarowym, azymut 170°	53°19'48,4"	14°40'34,9"	< 2,0	0,3 – 2,0	< 3,0	< 0,008
K17	Na głównym kierunku pomiarowym, azymut 170°	53°19'47,8"	14°40'35,1"	< 2,0	0,3 – 2,0	< 3,0	< 0,008
K18	Na głównym kierunku pomiarowym, azymut 170°	53°19'47,1"	14°40'35,4"	< 2,0	0,3 – 2,0	< 3,0	< 0,008
K19	Na głównym kierunku pomiarowym, azymut 170°	53°19'46,5"	14°40'35,6"	< 2,0	0,3 – 2,0	< 3,0	< 0,008
K20	Na głównym kierunku pomiarowym, azymut 170°	53°19'45,9"	14°40'35,9"	< 2,0	0,3 – 2,0	< 3,0	< 0,008
K21	Na głównym kierunku pomiarowym, azymut 170°	53°19'45,2"	14°40'36,1"	< 2,0	0,3 – 2,0	< 3,0	< 0,008
K22	Na głównym kierunku pomiarowym, azymut 170°	53°19'44,6"	14°40'36,4"	< 2,0	0,3 – 2,0	< 3,0	< 0,008
K23	Na głównym kierunku pomiarowym, azymut 170°	53°19'44"	14°40'36,6"	< 2,0	0,3 – 2,0	< 3,0	< 0,008
K24	Na głównym kierunku pomiarowym, azymut 170°	53°19'43,4"	14°40'36,9"	< 2,0	0,3 – 2,0	< 3,0	< 0,008
K25	Na głównym kierunku pomiarowym, azymut 170°	53°19'42,7"	14°40'37,1"	< 2,0	0,3 – 2,0	< 3,0	< 0,008
K26	Na głównym kierunku pomiarowym, azymut 170°	53°19'42,1"	14°40'37,4"	< 2,0	0,3 – 2,0	< 3,0	< 0,008
K27	Na głównym kierunku pomiarowym, azymut 170°	53°19'41,5"	14°40'37,7"	< 2,0	0,3 – 2,0	< 3,0	< 0,008
K28	Na głównym kierunku pomiarowym, azymut 170°	53°19'40,8"	14°40'37,9"	< 2,0	0,3 – 2,0	< 3,0	< 0,008
L1	Na głównym kierunku pomiarowym, azymut 180°	53°19'57,7"	14°40'29,5"	< 2,0	0,3 – 2,0	< 3,0	< 0,008
L2	Na głównym kierunku pomiarowym, azymut 180°	53°19'57,1"	14°40'29,5"	< 2,0	0,3 – 2,0	< 3,0	< 0,008
L3	Na głównym kierunku pomiarowym, azymut 180°	53°19'56,4"	14°40'29,5"	< 2,0	0,3 – 2,0	< 3,0	< 0,008
L4	Na głównym kierunku pomiarowym, azymut 180°	53°19'55,8"	14°40'29,5"	< 2,0	0,3 – 2,0	< 3,0	< 0,008
L5	Na głównym kierunku pomiarowym, azymut 180°	53°19'55,1"	14°40'29,5"	< 2,0	0,3 – 2,0	< 3,0	< 0,008
L6	Na głównym kierunku pomiarowym, azymut 180°	53°19'54,5"	14°40'29,5"	< 2,0	0,3 – 2,0	< 3,0	< 0,008
L7	Na głównym kierunku pomiarowym, azymut 180°	53°19'53,9"	14°40'29,5"	< 2,0	0,3 – 2,0	< 3,0	< 0,008
L8	Na głównym kierunku pomiarowym, azymut 180°	53°19'53,2"	14°40'29,5"	< 2,0	0,3 – 2,0	< 3,0	< 0,008
L9	Na głównym kierunku pomiarowym, azymut 180°	53°19'52,6"	14°40'29,5"	< 2,0	0,3 – 2,0	< 3,0	< 0,008
L10	Na głównym kierunku pomiarowym, azymut 180°	53°19'51,9"	14°40'29,5"	< 2,0	0,3 – 2,0	< 3,0	< 0,008
L11	Na głównym kierunku pomiarowym, azymut 180°	53°19'51,3"	14°40'29,5"	< 2,0	0,3 – 2,0	< 3,0	< 0,008
L12	Na głównym kierunku pomiarowym, azymut 180°	53°19'50,6"	14°40'29,5"	< 2,0	0,3 – 2,0	< 3,0	< 0,008

Tabela 3. Wyniki pomiarów natężenia pola elektromagnetycznego w otoczeniu obiektu RTCN Szczecin / Kołowo, w warunkach normalnej eksploatacji urządzeń

Nr pionu pomiarowego	Opis miejsca pomiaru	Współrzędne geograficzne pionu pomiarowego		Wynik pomiaru natężenia pola elektrycznego E w paśmie częstotliwości 80 MHz – 45 GHz			Wyznaczona wartość natężenia pola magnetycznego H w paśmie częstotliwości 80 MHz – 45 GHz (na podstawie wartości E):
		N	E	Max. wartość zmierzona	Wysokość pomiaru	Wartość E po uwzględnieniu poprawek i niepewności	
-	-			[V/m]	[m]	[V/m]	[A/m]
L13	Na głównym kierunku pomiarowym, azymut 180°	53°19'50"	14°40'29,5"	<2,0	0,3 – 2,0	<3,0	<0,008
L14	Na głównym kierunku pomiarowym, azymut 180°	53°19'49,3"	14°40'29,5"	<2,0	0,3 – 2,0	<3,0	<0,008
L15	Na głównym kierunku pomiarowym, azymut 180°	53°19'48,7"	14°40'29,5"	<2,0	0,3 – 2,0	<3,0	<0,008
L16	Na głównym kierunku pomiarowym, azymut 180°	53°19'48"	14°40'29,5"	<2,0	0,3 – 2,0	<3,0	<0,008
L17	Na głównym kierunku pomiarowym, azymut 180°	53°19'47,4"	14°40'29,5"	<2,0	0,3 – 2,0	<3,0	<0,008
L18	Na głównym kierunku pomiarowym, azymut 180°	53°19'46,8"	14°40'29,5"	<2,0	0,3 – 2,0	<3,0	<0,008
L19	Na głównym kierunku pomiarowym, azymut 180°	53°19'46,1"	14°40'29,5"	<2,0	0,3 – 2,0	<3,0	<0,008
L20*	Na głównym kierunku pomiarowym, azymut 180°	53°19'45,5"	14°40'29,5"	<2,0	0,3 – 2,0	<3,0	<0,008
L21	Na głównym kierunku pomiarowym, azymut 180°	53°19'44,8"	14°40'29,5"	<2,0	0,3 – 2,0	<3,0	<0,008
L22*	Na głównym kierunku pomiarowym, azymut 180°	53°19'44,2"	14°40'29,5"	<2,0	0,3 – 2,0	<3,0	<0,008
L23	Na głównym kierunku pomiarowym, azymut 180°	53°19'43,5"	14°40'29,5"	<2,0	0,3 – 2,0	<3,0	<0,008
L24	Na głównym kierunku pomiarowym, azymut 180°	53°19'42,9"	14°40'29,5"	<2,0	0,3 – 2,0	<3,0	<0,008
L25	Na głównym kierunku pomiarowym, azymut 180°	53°19'42,2"	14°40'29,5"	<2,0	0,3 – 2,0	<3,0	<0,008
L26	Na głównym kierunku pomiarowym, azymut 180°	53°19'41,6"	14°40'29,5"	<2,0	0,3 – 2,0	<3,0	<0,008
L27	Na głównym kierunku pomiarowym, azymut 180°	53°19'40,9"	14°40'29,5"	<2,0	0,3 – 2,0	<3,0	<0,008
L28	Na głównym kierunku pomiarowym, azymut 180°	53°19'40,3"	14°40'29,5"	<2,0	0,3 – 2,0	<3,0	<0,008
M1*	Na głównym kierunku pomiarowym, azymut 191°	53°19'58,4"	14°40'28,9"	<2,0	0,3 – 2,0	<3,0	<0,008
M2	Na głównym kierunku pomiarowym, azymut 191°	53°19'57,8"	14°40'28,8"	<2,0	0,3 – 2,0	<3,0	<0,008
M3	Na głównym kierunku pomiarowym, azymut 191°	53°19'57,1"	14°40'28,6"	<2,0	0,3 – 2,0	<3,0	<0,008
M4	Na głównym kierunku pomiarowym, azymut 191°	53°19'56,5"	14°40'28,5"	<2,0	0,3 – 2,0	<3,0	<0,008
M5	Na głównym kierunku pomiarowym, azymut 191°	53°19'55,8"	14°40'28,3"	2,1	0,7	3,1	0,008
M6	Na głównym kierunku pomiarowym, azymut 191°	53°19'55,2"	14°40'28,2"	2,1	0,7	3,1	0,008
M7	Na głównym kierunku pomiarowym, azymut 191°	53°19'54,5"	14°40'28"	<2,0	0,3 – 2,0	<3,0	<0,008
M8	Na głównym kierunku pomiarowym, azymut 191°	53°19'53,9"	14°40'27,9"	<2,0	0,3 – 2,0	<3,0	<0,008
M9	Na głównym kierunku pomiarowym, azymut 191°	53°19'53,3"	14°40'27,8"	<2,0	0,3 – 2,0	<3,0	<0,008
M10	Na głównym kierunku pomiarowym, azymut 191°	53°19'52,6"	14°40'27,6"	<2,0	0,3 – 2,0	<3,0	<0,008
M11	Na głównym kierunku pomiarowym, azymut 191°	53°19'52"	14°40'27,5"	<2,0	0,3 – 2,0	<3,0	<0,008

Tabela 3. Wyniki pomiarów natężenia pola elektromagnetycznego w otoczeniu obiektu RTCN Szczecin / Kołowo, w warunkach normalnej eksploatacji urządzeń

Nr pionu pomiarowego	Opis miejsca pomiaru	Współrzędne geograficzne pionu pomiarowego		Wynik pomiaru natężenia pola elektrycznego E w paśmie częstotliwości 80 MHz – 45 GHz		Wycieczona wartość natężenia pola magnetycznego H w paśmie częstotliwości 80 MHz – 45 GHz (na podstawie wartości E): [A/m]
		N	E	Max. wartość zmierzona	Wysokość pomiaru	
-	-			[V/m]	[m]	[A/m]
M12	Na głównym kierunku pomiarowym, azymut 191°	53°19'51,3"	14°40'27,3"	< 2,0	0,3 – 2,0	< 0,008
M13*	Na głównym kierunku pomiarowym, azymut 191°	53°19'50,7"	14°40'27,2"	< 2,0	0,3 – 2,0	< 0,008
M14	Na głównym kierunku pomiarowym, azymut 191°	53°19'50,1"	14°40'27,1"	< 2,0	0,3 – 2,0	< 0,008
M15	Na głównym kierunku pomiarowym, azymut 191°	53°19'49,4"	14°40'26,9"	< 2,0	0,3 – 2,0	< 0,008
M16	Na głównym kierunku pomiarowym, azymut 191°	53°19'48,8"	14°40'26,8"	< 2,0	0,3 – 2,0	< 0,008
M17	Na głównym kierunku pomiarowym, azymut 191°	53°19'48,1"	14°40'26,6"	< 2,0	0,3 – 2,0	< 0,008
M18	Na głównym kierunku pomiarowym, azymut 191°	53°19'47,5"	14°40'26,5"	< 2,0	0,3 – 2,0	< 0,008
M19	Na głównym kierunku pomiarowym, azymut 191°	53°19'46,9"	14°40'26,3"	< 2,0	0,3 – 2,0	< 0,008
M20	Na głównym kierunku pomiarowym, azymut 191°	53°19'46,2"	14°40'26,2"	< 2,0	0,3 – 2,0	< 0,008
M21	Na głównym kierunku pomiarowym, azymut 191°	53°19'45,6"	14°40'26,1"	< 2,0	0,3 – 2,0	< 0,008
M22	Na głównym kierunku pomiarowym, azymut 191°	53°19'44,9"	14°40'25,9"	< 2,0	0,3 – 2,0	< 0,008
M23	Na głównym kierunku pomiarowym, azymut 191°	53°19'44,3"	14°40'25,8"	< 2,0	0,3 – 2,0	< 0,008
M24	Na głównym kierunku pomiarowym, azymut 191°	53°19'43,6"	14°40'25,6"	< 2,0	0,3 – 2,0	< 0,008
M25	Na głównym kierunku pomiarowym, azymut 191°	53°19'43"	14°40'25,5"	< 2,0	0,3 – 2,0	< 0,008
M26	Na głównym kierunku pomiarowym, azymut 191°	53°19'42,4"	14°40'25,4"	< 2,0	0,3 – 2,0	< 0,008
M27	Na głównym kierunku pomiarowym, azymut 191°	53°19'41,7"	14°40'25,2"	< 2,0	0,3 – 2,0	< 0,008
M28	Na głównym kierunku pomiarowym, azymut 191°	53°19'41,1"	14°40'25,1"	< 2,0	0,3 – 2,0	< 0,008
M29	Na głównym kierunku pomiarowym, azymut 191°	53°19'40,4"	14°40'24,9"	< 2,0	0,3 – 2,0	< 0,008
N1	Na głównym kierunku pomiarowym, azymut 246°	53°20'0,7"	14°40'26,7"	< 2,0	0,3 – 2,0	< 0,008
N2	Na głównym kierunku pomiarowym, azymut 246°	53°20'0,4"	14°40'25,8"	< 2,0	0,3 – 2,0	< 0,008
N3	Na głównym kierunku pomiarowym, azymut 246°	53°20'0,1"	14°40'24,8"	2,1	0,7	< 0,008
N4	Na głównym kierunku pomiarowym, azymut 246°	53°19'59,8"	14°40'23,8"	2,3	0,7	0,008
N5	Na głównym kierunku pomiarowym, azymut 246°	53°19'59,5"	14°40'22,9"	2,2	0,7	0,009
N6	Na głównym kierunku pomiarowym, azymut 246°	53°19'59,2"	14°40'21,9"	< 2,0	0,3 – 2,0	< 0,008
N7	Na głównym kierunku pomiarowym, azymut 246°	53°19'58,9"	14°40'21"	< 2,0	0,3 – 2,0	< 0,008
N8	Na głównym kierunku pomiarowym, azymut 246°	53°19'58,6"	14°40'20"	< 2,0	0,3 – 2,0	< 0,008
N9	Na głównym kierunku pomiarowym, azymut 246°	53°19'58,3"	14°40'19,1"	< 2,0	0,3 – 2,0	< 0,008

Tabela 3. Wyniki pomiarów natężenia pola elektromagnetycznego w otoczeniu obiektu RTCN Szczecin / Kołowo, w warunkach normalnej eksploatacji urządzeń

Nr pionu pomiarowego	Opis miejsca pomiaru	Współrzędne geograficzne pionu pomiarowego		Wynik pomiaru natężenia pola elektrycznego E w paśmie częstotliwości 80 MHz – 45 GHz		Wycieczona wartość natężenia pola magnetycznego H w paśmie częstotliwości 80 MHz – 45 GHz (na podstawie wartości E):
		N	E	Max. wartość zmierzona [V/m]	Wysokość pomiaru [m]	
-	-	-	-	-	-	-
N10	Na głównym kierunku pomiarowym, azymut 246°	53°19'58"	14°40'18,1"	< 2,0	0,3 – 2,0	< 0,008
N11	Na głównym kierunku pomiarowym, azymut 246°	53°19'57,7"	14°40'17,1"	< 2,0	0,3 – 2,0	< 0,008
N12	Na głównym kierunku pomiarowym, azymut 246°	53°19'57,4"	14°40'16,2"	< 2,0	0,3 – 2,0	< 0,008
N13	Na głównym kierunku pomiarowym, azymut 246°	53°19'57,1"	14°40'15,2"	< 2,0	0,3 – 2,0	< 0,008
N14	Na głównym kierunku pomiarowym, azymut 246°	53°19'56,8"	14°40'14,3"	< 2,0	0,3 – 2,0	< 0,008
N15	Na głównym kierunku pomiarowym, azymut 246°	53°19'55,9"	14°40'11,4"	< 2,0	0,3 – 2,0	< 0,008
N16	Na głównym kierunku pomiarowym, azymut 246°	53°19'55,6"	14°40'10,4"	< 2,0	0,3 – 2,0	< 0,008
N17	Na głównym kierunku pomiarowym, azymut 246°	53°19'55,3"	14°40'9,5"	< 2,0	0,3 – 2,0	< 0,008
N18	Na głównym kierunku pomiarowym, azymut 246°	53°19'55"	14°40'8,5"	< 2,0	0,3 – 2,0	< 0,008
N19*	Na głównym kierunku pomiarowym, azymut 246°	53°19'54,7"	14°40'7,6"	< 2,0	0,3 – 2,0	< 0,008
N20*	Na głównym kierunku pomiarowym, azymut 246°	53°19'54,4"	14°40'6,6"	< 2,0	0,3 – 2,0	< 0,008
N21	Na głównym kierunku pomiarowym, azymut 246°	53°19'54,1"	14°40'5,6"	< 2,0	0,3 – 2,0	< 0,008
N22	Na głównym kierunku pomiarowym, azymut 246°	53°19'53,8"	14°40'4,7"	< 2,0	0,3 – 2,0	< 0,008
N23	Na głównym kierunku pomiarowym, azymut 246°	53°19'53,5"	14°40'3,7"	< 2,0	0,3 – 2,0	< 0,008
N24	Na głównym kierunku pomiarowym, azymut 246°	53°19'53,2"	14°40'2,8"	< 2,0	0,3 – 2,0	< 0,008
N25	Na głównym kierunku pomiarowym, azymut 246°	53°19'52,9"	14°40'1,8"	< 2,0	0,3 – 2,0	< 0,008
N26	Na głównym kierunku pomiarowym, azymut 246°	53°19'52,6"	14°40'0,8"	< 2,0	0,3 – 2,0	< 0,008
N27	Na głównym kierunku pomiarowym, azymut 246°	53°19'52,3"	14°39'59,9"	< 2,0	0,3 – 2,0	< 0,008
N28	Na głównym kierunku pomiarowym, azymut 246°	53°19'52,1"	14°39'58,9"	< 2,0	0,3 – 2,0	< 0,008
N29	Na głównym kierunku pomiarowym, azymut 246°	53°19'51,8"	14°39'58"	< 2,0	0,3 – 2,0	< 0,008
O1*	Na głównym kierunku pomiarowym, azymut 268°	53°20'1,5"	14°40'27,4"	< 2,0	0,3 – 2,0	< 0,008
O2	Na głównym kierunku pomiarowym, azymut 268°	53°20'1,4"	14°40'26,4"	< 2,0	0,3 – 2,0	< 0,008
O3	Na głównym kierunku pomiarowym, azymut 268°	53°20'1,4"	14°40'25,3"	< 2,0	0,3 – 2,0	< 0,008
O4	Na głównym kierunku pomiarowym, azymut 268°	53°20'1,3"	14°40'24,2"	< 2,0	0,3 – 2,0	< 0,008
O5	Na głównym kierunku pomiarowym, azymut 268°	53°20'1,2"	14°40'23,1"	< 2,0	0,3 – 2,0	< 0,008
O6	Na głównym kierunku pomiarowym, azymut 268°	53°20'1,2"	14°40'22,1"	< 2,0	0,3 – 2,0	< 0,008
O7	Na głównym kierunku pomiarowym, azymut 268°	53°20'1,1"	14°40'21"	< 2,0	0,3 – 2,0	< 0,008

Tabela 3. Wyniki pomiarów natężenia pola elektromagnetycznego w otoczeniu obiektu RTCN Szczecin / Kołowo, w warunkach normalnej eksploatacji urządzeń

Nr pionu pomiarowego	Opis miejsca pomiaru	Współrzędne geograficzne pionu pomiarowego		Wynik pomiaru natężenia pola elektrycznego E w paśmie częstotliwości 80 MHz – 45 GHz		Wycieczona wartość natężenia pola magnetycznego H w paśmie częstotliwości 80 MHz – 45 GHz (na podstawie wartości E):
		N	E	Max. wartość zmierzona [V/m]	Wysokość pomiaru [m]	
O8	Na głównym kierunku pomiarowym, azymut 268°	53°20'1"	14°40'19,9"	< 2,0	0,3 – 2,0	< 0,008
O9	Na głównym kierunku pomiarowym, azymut 268°	53°20'1"	14°40'18,8"	< 2,0	0,3 – 2,0	< 0,008
O10	Na głównym kierunku pomiarowym, azymut 268°	53°20'0,9"	14°40'17,8"	< 2,0	0,3 – 2,0	< 0,008
O11	Na głównym kierunku pomiarowym, azymut 268°	53°20'0,9"	14°40'16,7"	2,2	0,7	0,009
O12	Na głównym kierunku pomiarowym, azymut 268°	53°20'0,8"	14°40'15,6"	< 2,0	0,3 – 2,0	< 0,008
O13	Na głównym kierunku pomiarowym, azymut 268°	53°20'0,7"	14°40'14,5"	< 2,0	0,3 – 2,0	< 0,008
O14	Na głównym kierunku pomiarowym, azymut 268°	53°20'0,7"	14°40'13,5"	< 2,0	0,3 – 2,0	< 0,008
O15	Na głównym kierunku pomiarowym, azymut 268°	53°20'0,6"	14°40'12,4"	< 2,0	0,3 – 2,0	< 0,008
O16	Na głównym kierunku pomiarowym, azymut 268°	53°20'0,3"	14°40'7"	< 2,0	0,3 – 2,0	< 0,008
O17	Na głównym kierunku pomiarowym, azymut 268°	53°20'0,2"	14°40'5,9"	< 2,0	0,3 – 2,0	< 0,008
O18	Na głównym kierunku pomiarowym, azymut 268°	53°20'0,2"	14°40'4,9"	< 2,0	0,3 – 2,0	< 0,008
O19	Na głównym kierunku pomiarowym, azymut 268°	53°19'59,9"	14°40'0,6"	< 2,0	0,3 – 2,0	< 0,008
O20*	Na głównym kierunku pomiarowym, azymut 268°	53°19'59,9"	14°39'59,5"	< 2,0	0,3 – 2,0	< 0,008
O21	Na głównym kierunku pomiarowym, azymut 268°	53°19'59,8"	14°39'58,4"	< 2,0	0,3 – 2,0	< 0,008
O22	Na głównym kierunku pomiarowym, azymut 268°	53°19'59,8"	14°39'57,3"	< 2,0	0,3 – 2,0	< 0,008
O23	Na głównym kierunku pomiarowym, azymut 268°	53°19'59,7"	14°39'56,3"	< 2,0	0,3 – 2,0	< 0,008
O24	Na głównym kierunku pomiarowym, azymut 268°	53°19'59,6"	14°39'55,2"	< 2,0	0,3 – 2,0	< 0,008
O25	Na głównym kierunku pomiarowym, azymut 268°	53°19'59,6"	14°39'54,1"	< 2,0	0,3 – 2,0	< 0,008
P1*	Na głównym kierunku pomiarowym, azymut 270°	53°20'1,6"	14°40'27,4"	< 2,0	0,3 – 2,0	< 0,008
P2	Na głównym kierunku pomiarowym, azymut 270°	53°20'1,6"	14°40'26,4"	< 2,0	0,3 – 2,0	< 0,008
P3	Na głównym kierunku pomiarowym, azymut 270°	53°20'1,6"	14°40'25,3"	< 2,0	0,3 – 2,0	< 0,008
P4	Na głównym kierunku pomiarowym, azymut 270°	53°20'1,6"	14°40'24,2"	< 2,0	0,3 – 2,0	< 0,008
P5	Na głównym kierunku pomiarowym, azymut 270°	53°20'1,6"	14°40'23,1"	< 2,0	0,3 – 2,0	< 0,008
P6	Na głównym kierunku pomiarowym, azymut 270°	53°20'1,6"	14°40'22,1"	< 2,0	0,3 – 2,0	< 0,008
P7	Na głównym kierunku pomiarowym, azymut 270°	53°20'1,6"	14°40'21"	< 2,0	0,3 – 2,0	< 0,008
P8	Na głównym kierunku pomiarowym, azymut 270°	53°20'1,6"	14°40'19,9"	< 2,0	0,3 – 2,0	< 0,008
P9	Na głównym kierunku pomiarowym, azymut 270°	53°20'1,6"	14°40'18,8"	< 2,0	0,3 – 2,0	< 0,008

Tabela 3. Wyniki pomiarów natężenia pola elektromagnetycznego w otoczeniu obiektu RTCN Szczecin / Kołowo, w warunkach normalnej eksploatacji urządzeń

Nr pionu pomiarowego	Opis miejsca pomiaru	Współrzędne geograficzne pionu pomiarowego		Wynik pomiaru natężenia pola elektrycznego E w paśmie częstotliwości 80 MHz – 45 GHz			Wyznaczona wartość natężenia pola magnetycznego H w paśmie częstotliwości 80 MHz – 45 GHz (na podstawie wartości E):
		N	E	Max. wartość zmierzona	Wysokość pomiaru	Wartość E po uwzględnieniu poprawek i niepewności	
-	-			[V/m]	[m]	[V/m]	
P10	Na głównym kierunku pomiarowym, azymut 270°	53°20'1,6"	14°40'17,7"	< 2,0	0,3 – 2,0	< 3,0	< 0,008
P11	Na głównym kierunku pomiarowym, azymut 270°	53°20'1,6"	14°40'16,7"	2,2	0,8	3,3	0,009
P12	Na głównym kierunku pomiarowym, azymut 270°	53°20'1,6"	14°40'15,6"	< 2,0	0,3 – 2,0	< 3,0	< 0,008
P13	Na głównym kierunku pomiarowym, azymut 270°	53°20'1,6"	14°40'14,5"	< 2,0	0,3 – 2,0	< 3,0	< 0,008
P14	Na głównym kierunku pomiarowym, azymut 270°	53°20'1,6"	14°40'13,4"	< 2,0	0,3 – 2,0	< 3,0	< 0,008
P15	Na głównym kierunku pomiarowym, azymut 270°	53°20'1,6"	14°40'12,3"	< 2,0	0,3 – 2,0	< 3,0	< 0,008
P16	Na głównym kierunku pomiarowym, azymut 270°	53°20'1,6"	14°40'7"	< 2,0	0,3 – 2,0	< 3,0	< 0,008
P17	Na głównym kierunku pomiarowym, azymut 270°	53°20'1,6"	14°40'5,9"	< 2,0	0,3 – 2,0	< 3,0	< 0,008
P18	Na głównym kierunku pomiarowym, azymut 270°	53°20'1,6"	14°40'4,8"	< 2,0	0,3 – 2,0	< 3,0	< 0,008
P19	Na głównym kierunku pomiarowym, azymut 270°	53°20'1,6"	14°40'0,5"	< 2,0	0,3 – 2,0	< 3,0	< 0,008
P20	Na głównym kierunku pomiarowym, azymut 270°	53°20'1,6"	14°39'59,4"	< 2,0	0,3 – 2,0	< 3,0	< 0,008
P21*	Na głównym kierunku pomiarowym, azymut 270°	53°20'1,6"	14°39'58,3"	< 2,0	0,3 – 2,0	< 3,0	< 0,008
P22	Na głównym kierunku pomiarowym, azymut 270°	53°20'1,6"	14°39'57,2"	< 2,0	0,3 – 2,0	< 3,0	< 0,008
P23	Na głównym kierunku pomiarowym, azymut 270°	53°20'1,6"	14°39'56,2"	< 2,0	0,3 – 2,0	< 3,0	< 0,008
P24	Na głównym kierunku pomiarowym, azymut 270°	53°20'1,6"	14°39'55,1"	< 2,0	0,3 – 2,0	< 3,0	< 0,008
P25	Na głównym kierunku pomiarowym, azymut 270°	53°20'1,6"	14°39'54"	< 2,0	0,3 – 2,0	< 3,0	< 0,008
Q1*	Na głównym kierunku pomiarowym, azymut 330°	53°20'2,7"	14°40'28,4"	< 2,0	0,3 – 2,0	< 3,0	< 0,008
Q2*	Na pomocniczym kierunku pomiarowym, azymut 330°	53°20'3,2"	14°40'27,8"	< 2,0	0,3 – 2,0	< 3,0	< 0,008
Q3	Na pomocniczym kierunku pomiarowym, azymut 330°	53°20'3,8"	14°40'27,2"	< 2,0	0,3 – 2,0	< 3,0	< 0,008
Q4	Na pomocniczym kierunku pomiarowym, azymut 330°	53°20'4,3"	14°40'26,6"	< 2,0	0,3 – 2,0	< 3,0	< 0,008
R1*	Na głównym kierunku pomiarowym, azymut 340°	53°20'2,8"	14°40'28,7"	< 2,0	0,3 – 2,0	< 3,0	< 0,008
R2	Na głównym kierunku pomiarowym, azymut 340°	53°20'3,4"	14°40'28,3"	< 2,0	0,3 – 2,0	< 3,0	< 0,008
R3	Na głównym kierunku pomiarowym, azymut 340°	53°20'4"	14°40'27,9"	< 2,0	0,3 – 2,0	< 3,0	< 0,008
R4*	Na głównym kierunku pomiarowym, azymut 340°	53°20'4,6"	14°40'27,4"	< 2,0	0,3 – 2,0	< 3,0	< 0,008
R5	Na głównym kierunku pomiarowym, azymut 340°	53°20'5,2"	14°40'27"	< 2,0	0,3 – 2,0	< 3,0	< 0,008
R6	Na głównym kierunku pomiarowym, azymut 340°	53°20'5,8"	14°40'26,6"	< 2,0	0,3 – 2,0	< 3,0	< 0,008
R7	Na głównym kierunku pomiarowym, azymut 340°	53°20'6,3"	14°40'26,2"	< 2,0	0,3 – 2,0	< 3,0	< 0,008

Tabela 3. Wyniki pomiarów natężenia pola elektromagnetycznego w otoczeniu obiektu RTCN Szczecin / Kołowo, w warunkach normalnej eksploatacji urządzeń

Nr pionu pomiarowego	Opis miejsca pomiaru	Współrzędne geograficzne pionu pomiarowego		Wynik pomiaru natężenia pola elektrycznego E w paśmie częstotliwości 80 MHz		Wycieczona wartość natężenia pola magnetycznego H w paśmie częstotliwości 80 MHz – 45 GHz (na podstawie wartości E):
		N	E	Max. wartość zmierzona	Wysokość pomiaru	
-	-			[V/m]	[m]	[A/m]
R8	Na głównym kierunku pomiarowym, azymut 340°	53°20'6,9"	14°40'25,7"	< 2,0	0,3 – 2,0	< 0,008
R9	Na głównym kierunku pomiarowym, azymut 340°	53°20'7,5"	14°40'25,3"	< 2,0	0,3 – 2,0	< 0,008
R10	Na głównym kierunku pomiarowym, azymut 340°	53°20'8,1"	14°40'24,9"	< 2,0	0,3 – 2,0	< 0,008
R11	Na głównym kierunku pomiarowym, azymut 340°	53°20'8,7"	14°40'24,4"	< 2,0	0,3 – 2,0	< 0,008
R12	Na głównym kierunku pomiarowym, azymut 340°	53°20'9,3"	14°40'24"	< 2,0	0,3 – 2,0	< 0,008
R13	Na głównym kierunku pomiarowym, azymut 340°	53°20'9,9"	14°40'23,6"	< 2,0	0,3 – 2,0	< 0,008
R14	Na głównym kierunku pomiarowym, azymut 340°	53°20'10,5"	14°40'23,1"	< 2,0	0,3 – 2,0	< 0,008
R15	Na głównym kierunku pomiarowym, azymut 340°	53°20'11,1"	14°40'22,7"	< 2,0	0,3 – 2,0	< 0,008
R16	Na głównym kierunku pomiarowym, azymut 340°	53°20'11,7"	14°40'22,3"	< 2,0	0,3 – 2,0	< 0,008
R17	Na głównym kierunku pomiarowym, azymut 340°	53°20'12,3"	14°40'21,9"	< 2,0	0,3 – 2,0	< 0,008
R18	Na głównym kierunku pomiarowym, azymut 340°	53°20'12,9"	14°40'21,4"	< 2,0	0,3 – 2,0	< 0,008
R19	Na głównym kierunku pomiarowym, azymut 340°	53°20'13,5"	14°40'21"	< 2,0	0,3 – 2,0	< 0,008
R20	Na głównym kierunku pomiarowym, azymut 340°	53°20'14,1"	14°40'20,6"	< 2,0	0,3 – 2,0	< 0,008
R21	Na głównym kierunku pomiarowym, azymut 340°	53°20'14,7"	14°40'20,1"	< 2,0	0,3 – 2,0	< 0,008
R22	Na głównym kierunku pomiarowym, azymut 340°	53°20'15,2"	14°40'19,7"	< 2,0	0,3 – 2,0	< 0,008
R23	Na głównym kierunku pomiarowym, azymut 340°	53°20'15,8"	14°40'19,3"	< 2,0	0,3 – 2,0	< 0,008
R24	Na głównym kierunku pomiarowym, azymut 340°	53°20'16,4"	14°40'18,8"	< 2,0	0,3 – 2,0	< 0,008
R25	Na głównym kierunku pomiarowym, azymut 340°	53°20'17"	14°40'18,4"	< 2,0	0,3 – 2,0	< 0,008
R26	Na głównym kierunku pomiarowym, azymut 340°	53°20'17,6"	14°40'18"	< 2,0	0,3 – 2,0	< 0,008
R27	Na głównym kierunku pomiarowym, azymut 340°	53°20'18,2"	14°40'17,5"	< 2,0	0,3 – 2,0	< 0,008
R28	Na głównym kierunku pomiarowym, azymut 340°	53°20'18,8"	14°40'17,1"	< 2,0	0,3 – 2,0	< 0,008
R29	Na głównym kierunku pomiarowym, azymut 340°	53°20'19,4"	14°40'16,7"	< 2,0	0,3 – 2,0	< 0,008
R30	Na głównym kierunku pomiarowym, azymut 340°	53°20'20"	14°40'16,3"	< 2,0	0,3 – 2,0	< 0,008
R31	Na głównym kierunku pomiarowym, azymut 340°	53°20'20,6"	14°40'15,8"	< 2,0	0,3 – 2,0	< 0,008
R32	Na głównym kierunku pomiarowym, azymut 340°	53°20'21,2"	14°40'15,4"	< 2,0	0,3 – 2,0	< 0,008
S1*	Na głównym kierunku pomiarowym, azymut 350°	53°20'2,9"	14°40'29,1"	< 2,0	0,3 – 2,0	< 0,008
S2	Na głównym kierunku pomiarowym, azymut 350°	53°20'3,5"	14°40'28,8"	< 2,0	0,3 – 2,0	< 0,008

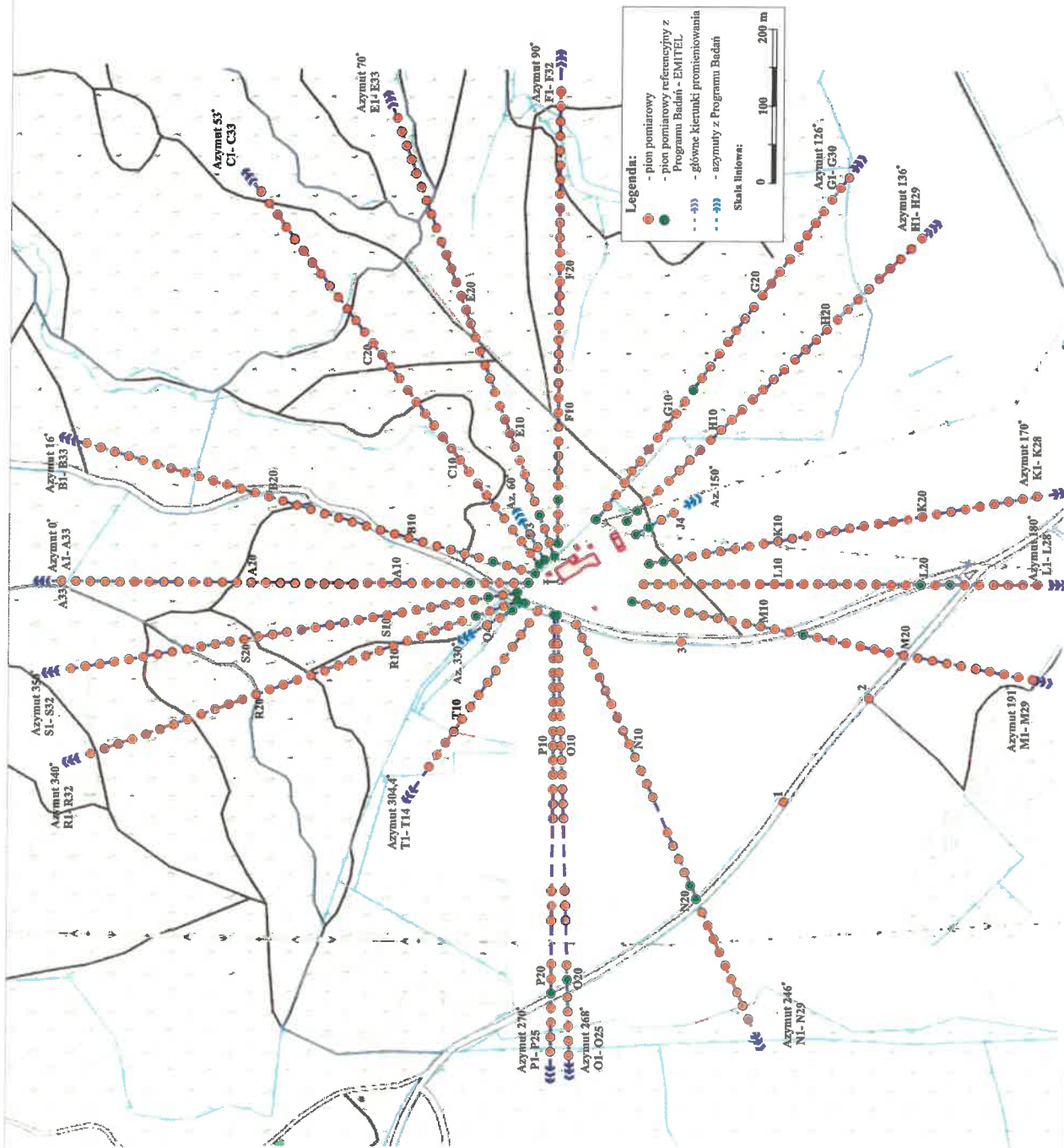
Tabela 3. Wyniki pomiarów natężenia pola elektromagnetycznego w otoczeniu obiektu RTCN Szczecin / Kołowo, w warunkach normalnej eksploatacji urządzeń

Nr pionu pomiarowego	Opis miejsca pomiaru	Współrzędne geograficzne pionu pomiarowego		Wynik pomiaru natężenia pola elektrycznego E w paśmie częstotliwości 80 MHz – 45 GHz			Wycieczona wartość natężenia pola magnetycznego H w paśmie częstotliwości 80 MHz – 45 GHz (na podstawie wartości E): [A/m]
		N	E	Max. wartość zmierzona	Wysokość pomiaru	Wartość E po uwzględnieniu poprawek i niepewności	
S3*	Na głównym kierunku pomiarowym, azymut 350°	53°20'4,1"	14°40'28,6"	< 2,0	0,3 – 2,0	< 3,0	< 0,008
S4	Na głównym kierunku pomiarowym, azymut 350°	53°20'4,7"	14°40'28,3"	< 2,0	0,3 – 2,0	< 3,0	< 0,008
S5	Na głównym kierunku pomiarowym, azymut 350°	53°20'5,4"	14°40'28,1"	< 2,0	0,3 – 2,0	< 3,0	< 0,008
S6	Na głównym kierunku pomiarowym, azymut 350°	53°20'6"	14°40'27,8"	< 2,0	0,3 – 2,0	< 3,0	< 0,008
S7	Na głównym kierunku pomiarowym, azymut 350°	53°20'6,6"	14°40'27,6"	< 2,0	0,3 – 2,0	< 3,0	< 0,008
S8	Na głównym kierunku pomiarowym, azymut 350°	53°20'7,3"	14°40'27,3"	< 2,0	0,3 – 2,0	< 3,0	< 0,008
S9	Na głównym kierunku pomiarowym, azymut 350°	53°20'7,9"	14°40'27,1"	< 2,0	0,3 – 2,0	< 3,0	< 0,008
S10	Na głównym kierunku pomiarowym, azymut 350°	53°20'8,5"	14°40'26,8"	< 2,0	0,3 – 2,0	< 3,0	< 0,008
S11	Na głównym kierunku pomiarowym, azymut 350°	53°20'9,1"	14°40'26,6"	< 2,0	0,3 – 2,0	< 3,0	< 0,008
S12	Na głównym kierunku pomiarowym, azymut 350°	53°20'9,8"	14°40'26,3"	< 2,0	0,3 – 2,0	< 3,0	< 0,008
S13	Na głównym kierunku pomiarowym, azymut 350°	53°20'10,4"	14°40'26,1"	< 2,0	0,3 – 2,0	< 3,0	< 0,008
S14	Na głównym kierunku pomiarowym, azymut 350°	53°20'11"	14°40'25,8"	< 2,0	0,3 – 2,0	< 3,0	< 0,008
S15	Na głównym kierunku pomiarowym, azymut 350°	53°20'11,7"	14°40'25,6"	< 2,0	0,3 – 2,0	< 3,0	< 0,008
S16	Na głównym kierunku pomiarowym, azymut 350°	53°20'12,3"	14°40'25,3"	< 2,0	0,3 – 2,0	< 3,0	< 0,008
S17	Na głównym kierunku pomiarowym, azymut 350°	53°20'12,9"	14°40'25,1"	< 2,0	0,3 – 2,0	< 3,0	< 0,008
S18	Na głównym kierunku pomiarowym, azymut 350°	53°20'13,5"	14°40'24,8"	< 2,0	0,3 – 2,0	< 3,0	< 0,008
S19	Na głównym kierunku pomiarowym, azymut 350°	53°20'14,2"	14°40'24,6"	< 2,0	0,3 – 2,0	< 3,0	< 0,008
S20	Na głównym kierunku pomiarowym, azymut 350°	53°20'14,8"	14°40'24,3"	< 2,0	0,3 – 2,0	< 3,0	< 0,008
S21	Na głównym kierunku pomiarowym, azymut 350°	53°20'15,4"	14°40'24,1"	< 2,0	0,3 – 2,0	< 3,0	< 0,008
S22	Na głównym kierunku pomiarowym, azymut 350°	53°20'16,1"	14°40'23,8"	< 2,0	0,3 – 2,0	< 3,0	< 0,008
S23	Na głównym kierunku pomiarowym, azymut 350°	53°20'16,7"	14°40'23,6"	< 2,0	0,3 – 2,0	< 3,0	< 0,008
S24	Na głównym kierunku pomiarowym, azymut 350°	53°20'17,3"	14°40'23,3"	< 2,0	0,3 – 2,0	< 3,0	< 0,008
S25	Na głównym kierunku pomiarowym, azymut 350°	53°20'18"	14°40'23,1"	< 2,0	0,3 – 2,0	< 3,0	< 0,008
S26	Na głównym kierunku pomiarowym, azymut 350°	53°20'18,6"	14°40'22,8"	< 2,0	0,3 – 2,0	< 3,0	< 0,008
S27	Na głównym kierunku pomiarowym, azymut 350°	53°20'19,2"	14°40'22,6"	< 2,0	0,3 – 2,0	< 3,0	< 0,008
S28	Na głównym kierunku pomiarowym, azymut 350°	53°20'19,8"	14°40'22,3"	< 2,0	0,3 – 2,0	< 3,0	< 0,008
S29	Na głównym kierunku pomiarowym, azymut 350°	53°20'20,5"	14°40'22"	< 2,0	0,3 – 2,0	< 3,0	< 0,008

Tabela 3. Wyniki pomiarów natężenia pola elektromagnetycznego w otoczeniu obiektu RTCN Szczecin / Kołowo, w warunkach normalnej eksploatacji urządzeń

Nr pionu pomiarowego	Opis miejsca pomiaru	Współrzędne geograficzne pionu pomiarowego		Wynik pomiaru natężenia pola elektrycznego E w paśmie częstotliwości 80 MHz – 45 GHz			Wyliczona wartość natężenia pola magnetycznego H w paśmie częstotliwości 80 MHz – 45 GHz (na podstawie wartości E):
		N	E	Max. wartość zmierzona	Wysokość pomiaru	Wartość E po uwzględnieniu poprawek i niepewności	
-	-	-	-	[V/m]	[m]	[V/m]	[A/m]
S30	Na głównym kierunku pomiarowym, azymut 350°	53°20'21,1"	14°40'21,8"	< 2,0	0,3 – 2,0	< 3,0	< 0,008
S31	Na głównym kierunku pomiarowym, azymut 350°	53°20'21,7"	14°40'21,5"	< 2,0	0,3 – 2,0	< 3,0	< 0,008
S32	Na głównym kierunku pomiarowym, azymut 350°	53°20'22,4"	14°40'21,3"	< 2,0	0,3 – 2,0	< 3,0	< 0,008
T1	Na kierunku maksymalnej emisji anteny LR 304,4	53°20'1,9"	14°40'26,9"	2,1	0,7	3,1	0,008
T2	Na kierunku maksymalnej emisji anteny LR 304,4	53°20'2,2"	14°40'26"	< 2,0	0,3 – 2,0	< 3,0	< 0,008
T3	Na kierunku maksymalnej emisji anteny LR 304,4	53°20'2,6"	14°40'25,1"	< 2,0	0,3 – 2,0	< 3,0	< 0,008
T4	Na kierunku maksymalnej emisji anteny LR 304,4	53°20'2,9"	14°40'24,1"	< 2,0	0,3 – 2,0	< 3,0	< 0,008
T5	Na kierunku maksymalnej emisji anteny LR 304,4	53°20'3,3"	14°40'23,2"	< 2,0	0,3 – 2,0	< 3,0	< 0,008
T6	Na kierunku maksymalnej emisji anteny LR 304,4	53°20'3,6"	14°40'22,3"	< 2,0	0,3 – 2,0	< 3,0	< 0,008
T7	Na kierunku maksymalnej emisji anteny LR 304,4	53°20'3,9"	14°40'21,4"	< 2,0	0,3 – 2,0	< 3,0	< 0,008
T8	Na kierunku maksymalnej emisji anteny LR 304,4	53°20'4,3"	14°40'20,4"	< 2,0	0,3 – 2,0	< 3,0	< 0,008
T9	Na kierunku maksymalnej emisji anteny LR 304,4	53°20'4,6"	14°40'19,5"	< 2,0	0,3 – 2,0	< 3,0	< 0,008
T10	Na kierunku maksymalnej emisji anteny LR 304,4	53°20'4,9"	14°40'18,6"	< 2,0	0,3 – 2,0	< 3,0	< 0,008
T11	Na kierunku maksymalnej emisji anteny LR 304,4	53°20'5,3"	14°40'17,7"	< 2,0	0,3 – 2,0	< 3,0	< 0,008
T12	Na kierunku maksymalnej emisji anteny LR 304,4	53°20'5,6"	14°40'16,7"	< 2,0	0,3 – 2,0	< 3,0	< 0,008
T13	Na kierunku maksymalnej emisji anteny LR 304,4	53°20'6,3"	14°40'15,8"	< 2,0	0,3 – 2,0	< 3,0	< 0,008
T14	Na kierunku maksymalnej emisji anteny LR 304,4	53°20'6,3"	14°40'14,9"	< 2,0	0,3 – 2,0	< 3,0	< 0,008
1	Na drodze dojazdowej do obiektu	53°19'50,4"	14°40'15,2"	< 2,0	0,3 – 2,0	< 3,0	< 0,008
2	Na drodze dojazdowej do obiektu	53°19'47,4"	14°40'22,9"	< 2,0	0,3 – 2,0	< 3,0	< 0,008
3	Na drodze dojazdowej do obiektu	53°19'55,0"	14°40'25,4"	< 2,0	0,3 – 2,0	< 3,0	< 0,008

* - piony pomiarowe objęte „Programem badania pól elektromagnetycznych wokół istotnych stacji nadawczych EMITEL S.A.”



Rys. 1. Rozmieszczenie pionów pomiarowych w otoczeniu obiektu RTCN Szczecin / Kolowo

6. Dopuszczalne poziomy pól elektromagnetycznych w środowisku

Zgodnie z Rozporządzeniem Ministra Zdrowia z dnia 17 grudnia 2019 r. w sprawie dopuszczalnych poziomów pól elektromagnetycznych w środowisku dopuszczalne poziomy wynoszą:

Zakres częstotliwości pola elektromagnetycznego	Składowa elektryczna E (V/m)	Składowa magnetyczna H (A/m)	Gęstość mocy S (W/m ²)
od 10 MHz do 400 MHz	28	0,073	2
od 400 MHz do 2000 MHz	$1,375 \times f^{0,5}$	$0,0037 \times f^{0,5}$	$f / 200$
od 2 GHz do 300 GHz	61	0,16	10

Zgodnie z Rozporządzeniem Ministra Klimatu z dnia 17 lutego 2020 r. w sprawie sposobów sprawdzania dotrzymania dopuszczalnych poziomów pól elektromagnetycznych w środowisku, jeżeli w miejscach dostępnych dla ludności występują pola elektromagnetyczne o różnych dopuszczalnych poziomach w jednym zakresie częstotliwości lub z różnych zakresów częstotliwości, w ramach pomiarów szerokopasmowych wyznacza się w badanym zakresie częstotliwości wartości wskaźnikowe WME i WMH dla miejsc dostępnych dla ludności, odpowiednio dla składowej elektrycznej i magnetycznej pola, wyznaczone dla danego zakresu częstotliwości z zależności:

$$WM_E = \frac{E}{\min(ME_{gr})} \quad WM_H = \frac{H}{\min(MH_{gr})}$$

gdzie:

WM_E i WM_H – wartości wskaźnikowe poziomu emisji pól elektromagnetycznych dla miejsc dostępnych dla ludności dla składowej elektrycznej i magnetycznej pola,

E - oznacza zmierzona wartość skuteczną natężenia pola elektrycznego E, wyrażoną w V/m

H - oznacza zmierzona lub obliczoną (zgodnie z zależnością $H = E / 377$ [Ω]) wartość skuteczną natężenia pola magnetycznego H, wyrażoną w A/m,

min(ME_{gr}) i min(MH_{gr}) – oznacza najniższą dopuszczalną wartość składowej elektrycznej i magnetycznej pola dla objętego pomiarami zakresu częstotliwości dla miejsc dostępnych dla ludności.

7. Wartości wskaźnikowe poziomu emisji pól elektromagnetycznych

Zgodnie z wzorami podanymi w punkcie 6. niniejszego sprawozdania maksymalne wartości wskaźnikowe poziomu emisji pól elektromagnetycznych dla miejsc dostępnych dla ludności w otoczeniu obiektu RTCN Szczecin / Kołowo wynoszą:

$$WM_E = 0,26; \quad WM_H = 0,26$$

8. Ocena oddziaływania pola na środowisko. Wnioski

W miejscach dostępnych dla ludności w otoczeniu obiektu: RTCN Szczecin / Kołowo dopuszczalne poziomy pól elektromagnetycznych w środowisku uznaje się za dotrzymane - żadna z wartości wskaźnikowych nie przekracza wartości 1.

Ponieważ ustawodawca określił sposób, w jaki niepewność pomiaru ma być stosowana w odniesieniu do wartości określonych w specyfikacji (Rozporządzenie Ministra Klimatu z dnia 17 lutego 2020 r. w sprawie sposobów sprawdzania dotrzymania dopuszczalnych poziomów pól elektromagnetycznych w środowisku, Załącznik p. 1.), laboratorium nie uwzględni ryzyka błędnej akceptacji (zasada określona specyfikacją).

Pomiary kontrolne elektromagnetycznego promieniowania niejonizującego należy wykonywać każdorazowo w razie zmiany warunków pracy obiektu lub instalacji będących źródłami promieniowania, o ile te zmiany mogą mieć wpływ na zmianę poziomów niejonizującego promieniowania elektromagnetycznego.

9. Oświadczenia

- Wyniki pomiarów dotyczą warunków pracy źródeł pola-EM w dniu, w którym wykonano pomiary.
- Pomiary wykonano w warunkach normalnej eksploatacji urządzeń zainstalowanych na obiekcie.
- Oceny oddziaływania pola na środowisko dokonano przy uwzględnieniu maksymalnych zmierzonych poziomów pól w poszczególnych pionach pomiarowych.
- Bez pisemnej zgody Laboratorium sprawozdanie nie może być powielane inaczej niż w całości.
- Zleceniodawca ma prawo do reklamacji w terminie 14 dni licząc od daty stempla pocztowego lub od daty potwierdzenia przyjęcia sprawozdania.
- Laboratorium rozpatrzy reklamacje w terminie 30 dni licząc od daty otrzymania reklamacji.

Sprawozdanie opracowali:

Kazimierz Zorn
Szymon Zorn

----- **KONIEC SPRAWOZDANIA** -----